

## Problema n. 40.

La trave è la stessa del problema precedente; essa è soggetta ad una forza assiale  $F$  non più nell'estremo  $A$ , ma nella mezzeria  $C$  (fig. 40.1). Non si può operare sullo sviluppo completo di Fourier, perchè

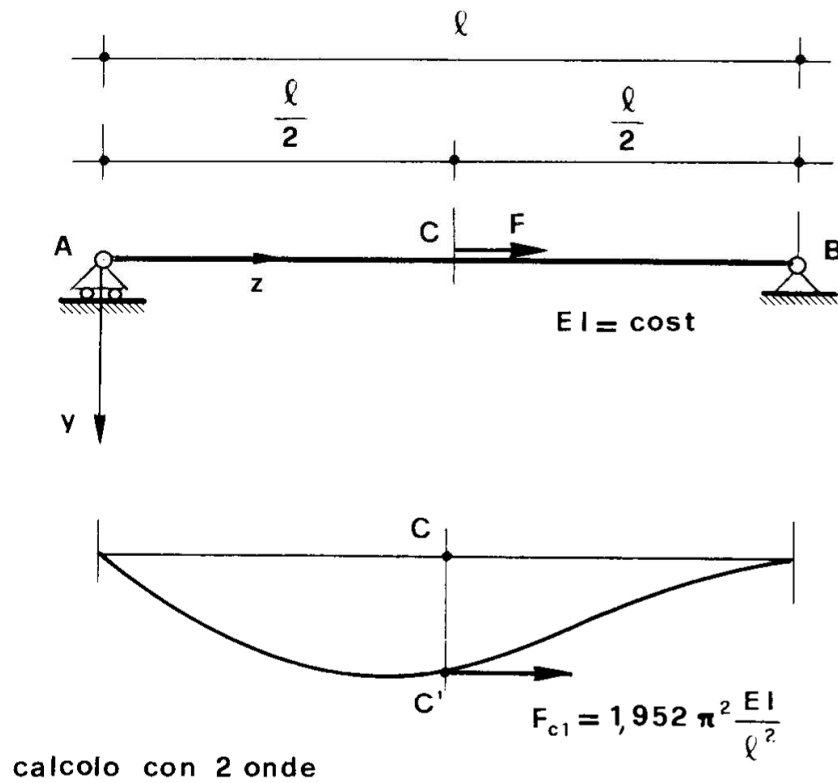


Figura 40.1.

mentre l'espressione di  $L$  è sempre la (163), quella di  $P$  contiene anche i termini rettangolari in  $v_i v_j$ .

Operando con una sola onda si ha

$$w_C = \frac{1}{2} \int_{l/2}^l v'^2 dz = \frac{\pi^2 v_1^2}{2l^2} \int_{l/2}^l \cos^2 \frac{\pi z}{l} dz = \frac{\pi^2 v_1^2}{8l}$$

e quindi

$$P = - \frac{F \pi^2 v_1^2}{8l}$$

Si ha perciò

$$E_t = -\frac{F\pi^2}{8l} v_1^2 + \frac{EI\pi^4}{4l^3} v_1^2$$

$$\frac{\partial E_t}{\partial v_1} = \left( -\frac{F\pi^2}{4l} + \frac{EI\pi^4}{2l^3} \right) v_1$$

quindi la condizione  $\frac{\partial E_t}{\partial v_1} = 0$  implica  $v_1 \neq 0$  se, e solo se,

$$F = F_1 = 2\pi^2 \frac{EI}{l^2}. \quad (171)$$

Operando con due onde si ha

$$\begin{aligned} w_C &= \frac{1}{2} \int_{l/2}^l v'^2 dz = \frac{\pi^2}{2l^2} \left( v_1^2 \int_{l/2}^l \cos^2 \frac{\pi z}{l} dz + \right. \\ &\quad \left. + 4v_2^2 \int_{l/2}^l \cos^2 \frac{2\pi z}{l} dz + 4v_1 v_2 \int_{l/2}^l \cos \frac{\pi z}{l} \cos \frac{2\pi z}{l} dz \right) = \\ &= \frac{\pi^2}{2l^2} \left( v_1^2 \frac{l}{4} + 4v_2^2 \frac{l}{4} - 4v_1 v_2 \frac{l}{3\pi} \right) \end{aligned}$$

Dalla relazione generale

$$\begin{aligned} \int \cos \alpha z \cos \beta z dz &= \frac{1}{2} \int \cos (\alpha + \beta) z dz + \int \cos (\alpha - \beta) z dz = \\ &= \frac{\text{sen } (\alpha + \beta) z}{2(\alpha + \beta)} + \frac{\text{sen } (\alpha - \beta) z}{2(\alpha - \beta)} \end{aligned} \quad (172)$$

si ottiene

$$\int_{l/2}^l \cos \frac{\pi z}{l} \cos \frac{2\pi z}{l} dz = -\frac{l}{3\pi}$$

Se ne trae

$$E_t = -\frac{F\pi^2}{2l^2} \left( v_1^2 \frac{l}{4} + 4v_2^2 \frac{l}{4} - 4v_1 v_2 \frac{l}{3\pi} \right) + \\ + \frac{EI\pi^4}{4l^3} (v_1^2 + 4v_2^2).$$

Le due condizioni

$$\frac{\partial E_t}{\partial v_1} = \frac{\partial E_t}{\partial v_2} = 0$$

conducono al sistema

$$\left( \frac{EI\pi^4}{2l^3} - \frac{F\pi^2}{4l} \right) v_1 + \frac{2\pi F}{3l} v_2 = 0$$

$$\frac{2\pi F}{3l} v_1 + \left( \frac{2EI\pi^4}{l^3} - \frac{F\pi^2}{l} \right) v_2 = 0 ;$$

l'annullarsi del determinante dei coefficienti è un'equazione di secondo grado in  $F$  di radici

$$F_1 = 1,952 \pi^2 \frac{EI}{l^2}$$

(173)

$$F_2 = 7,805 \pi^2 \frac{EI}{l^2}.$$

Confrontando con la (171), si osserva che migliorando l'approssimazione della deformata il carico critico si abbassa; di ciò si è già fornita una giustificazione intuitiva nel corso del problema 38.

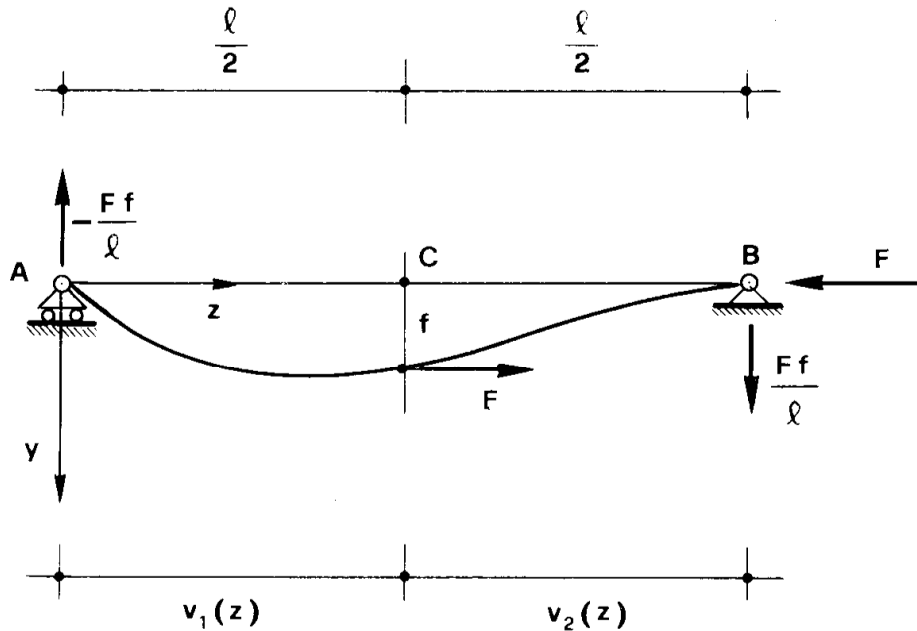


Figura 40.2.

Si vuole adesso trattare lo stesso problema per via geometrica (fig. 40.2). Il momento flettente è fornito da

$$M = \begin{cases} \frac{Ff}{l} z & \text{se } z \in \left[0, \frac{l}{2}\right] \\ -\frac{Ff}{l} (l-z) + Fv_2 & \text{se } z \in \left[\frac{l}{2}, l\right]. \end{cases} \quad (174)$$

Si è chiamata  $v_1(z)$  la deformata nell'intervallo  $\left[0, \frac{l}{2}\right]$ ,  $v_2(z)$  la deformata nell'intervallo  $\left[\frac{l}{2}, l\right]$ . L'equazione di equilibrio per una generica sezione del primo intervallo è

$$EI v_1'' = -\frac{Ff}{l} z,$$

e per una generica sezione del secondo intervallo è

$$EI v_2'' = -F v_2 + \frac{Ff}{l} (l-z) . \quad (175)$$

Ponendo

$$k^2 = \frac{F}{EI}$$

si ha

$$v_1'' = -k^2 \frac{f}{l} z \quad \text{se } z \in \left[ 0, \frac{l}{2} \right]$$

$$v_2'' + k^2 v_2 = k^2 \frac{f}{l} (l-z) \quad \text{se } z \in \left[ \frac{l}{2}, l \right] .$$

La prima si integra direttamente, e si ottiene

$$v_1' = -\frac{k^2 f}{2l} z^2 + C_1$$

$$v_1 = -\frac{k^2 f}{6l} z^3 + C_1 z + C_2 .$$

Un integrale particolare della seconda è  $v_2 = \frac{f}{l} (l-z)$ , e quindi il suo integrale generale è

$$v_2 = C_3 \operatorname{sen} kz + C_4 \operatorname{cos} kz + \frac{f}{l} (l-z) .$$

Le costanti di integrazione sono le quattro  $C_i$ ; la  $f$  deve restare indeterminata.

Le condizioni ai limiti sono pure quattro:

$$z = 0 \rightarrow v_1 = 0$$

$$z = \frac{l}{2} \rightarrow v_1 = v_2, v'_1 = v'_2$$

$$z = l \rightarrow v_2 = 0.$$

La prima porge

$$C_2 = 0.$$

La quarta si scrive

$$C_3 \operatorname{sen} kl + C_4 \operatorname{cos} kl = 0$$

da cui

$$C_4 = -C_3 \operatorname{tg} kl$$

La seconda si scrive

$$-\frac{k^2 f}{6l} \frac{l^3}{8} + C_1 \frac{l}{2} = C_3 \operatorname{sen} \frac{kl}{2} - C_3 \operatorname{tg} kl \operatorname{cos} \frac{kl}{2} + \frac{f}{2},$$

da cui

$$C_1 \frac{l}{2} - C_3 \left( \operatorname{sen} \frac{kl}{2} - \operatorname{tg} kl \operatorname{cos} \frac{kl}{2} \right) = f \frac{k^2 l^2 + 24}{48}. \quad (176)$$

La terza si scrive

$$-\frac{k^2 f}{2l} \frac{l^2}{4} + C_1 = k C_3 \operatorname{cos} \frac{kl}{2} + k C_3 \operatorname{tg} kl \operatorname{sen} \frac{kl}{2} - \frac{f}{l}$$

da cui

$$C_1 l - C_3 \left( kl \operatorname{cos} \frac{kl}{2} + kl \operatorname{tg} kl \operatorname{sen} \frac{kl}{2} \right) = f \frac{k^2 l^2 - 8}{8}. \quad (177)$$

La condizione

$$z = \frac{l}{2} \rightarrow v_1 = f$$

permette di esprimere  $f$  in funzione delle  $C_i$ :

$$f = C_1 \frac{24l}{k^2 l^2 + 48} .$$

Le (176) e (177) si scrivono quindi come segue:

$$C_1 \frac{12l}{k^2 l^2 + 48} - C_3 \left( \operatorname{sen} \frac{kl}{2} - \operatorname{tg} kl \cos \frac{kl}{2} \right) = 0$$

$$C_1 \frac{l(72 - 2k^2 l^2)}{k^2 l^2 + 48} - C_3 kl \left( \cos \frac{kl}{2} + \operatorname{tg} kl \operatorname{sen} \frac{kl}{2} \right) = 0 .$$

La condizione necessaria e sufficiente per l'esistenza di soluzioni non banali è che sia nullo il determinante dei coefficienti delle incognite  $C_i$ , cioè

$$\begin{vmatrix} 12 & - \operatorname{sen} \frac{kl}{2} + \operatorname{tg} kl \cos \frac{kl}{2} \\ 72 - 2k^2 l^2 & - kl \left( \cos \frac{kl}{2} + \operatorname{tg} kl \operatorname{sen} \frac{kl}{2} \right) \end{vmatrix} = 0$$

Posto

$$\frac{kl}{2} = \alpha$$

la suddetta condizione si scrive

$$- 24 \alpha (\cos \alpha + \operatorname{tg} 2 \alpha \operatorname{sen} \alpha) = (72 - 8 \alpha^2) (- \operatorname{sen} \alpha + \operatorname{tg} 2 \alpha \cos \alpha)$$

e ancora

$$24 \alpha \left( \cos \alpha + \frac{2 \operatorname{tg} \alpha \operatorname{sen} \alpha}{1 - \operatorname{tg}^2 \alpha} \right) = (72 - 8 \alpha^2) \left( \operatorname{sen} \alpha + \frac{2 \operatorname{tg} \alpha \cos \alpha}{1 - \operatorname{tg}^2 \alpha} \right);$$

$$- 24 \alpha (\cos^3 \alpha + \operatorname{sen}^2 \alpha \cos \alpha) = (72 - 8 \alpha^2) (\operatorname{sen}^3 \alpha + \operatorname{sen} \alpha \cos^2 \alpha);$$

$$- 24 \alpha \cos \alpha = (72 - 8 \alpha^2) \operatorname{sen} \alpha;$$

$$\operatorname{tg} \alpha + \frac{24 \alpha}{72 - 8 \alpha^2} = 0. \quad (178)$$

Le soluzioni della (178) costituiscono una successione crescente; il primo valore è

$$\alpha = 2,1602$$

da cui

$$k l = 2 \alpha = 4,3204$$

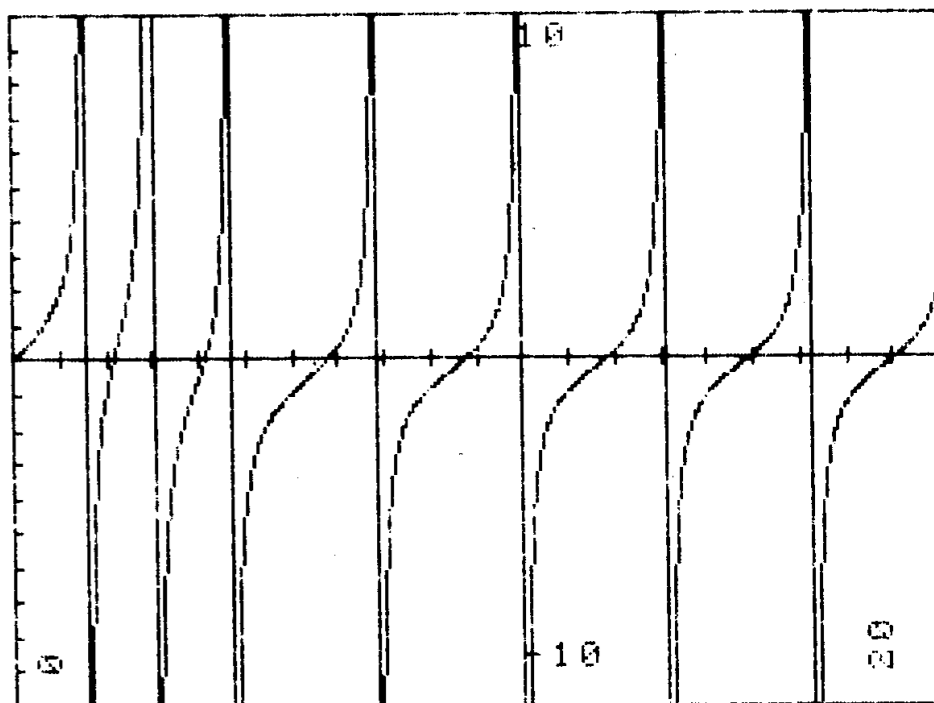


Figura 40.3.

$$k l^2 = \frac{F l^2}{E I} = 18,66$$



$$F_c = 18,66 \frac{EI}{l^2} = 1,891 \pi^2 \frac{EI}{l^2}. \quad (179)$$

Confrontando la (171) e la prima delle (173) con la (179) si osserva che calcolando con una sola onda l'errore è del 5,76 %, operando con due del 3,23 %. Si osserva pure che il carico critico reale è più basso dei due

Nella figura 40.3 è riportato il diagramma della (178) tra 0 e 20; si sono calcolati gli zeri, ottenendo la seguente tabella:

Carichi approssimati.

$i$	$\alpha$	$F_i l^2 / \pi^2 EI$
1	2,1602	1,891
2	4,1343	6,927
3	6,7857	18,662
4	9,7523	38,545
5	12,8093	66,498
6	15,9011	102,474
7	19,0099	146,460

**Problema n. 41.**

La trave della fig. 41.1 è ad asse rettilineo, con  $EI = cost$ ; in  $A$  c'è appoggio, in  $B$  incastro perfetto. Si operi con due onde:

$$v = v_1 \operatorname{sen} \frac{\pi z}{l} + v_2 \operatorname{sen} \frac{2\pi z}{l}.$$

La condizione di congruenza in  $B$

$$v'_B = -\frac{\pi}{l} v_1 + \frac{2\pi}{l} v_2 = 0$$

impone

$$v_2 = \frac{v_1}{2}$$

La deformata è perciò

$$v = v_1 \left( \operatorname{sen} \frac{\pi z}{l} + \frac{1}{2} \operatorname{sen} \frac{2\pi z}{l} \right);$$

le due condizioni

$$z = 0 \rightarrow v = 0$$

$$z = l \rightarrow v = 0$$

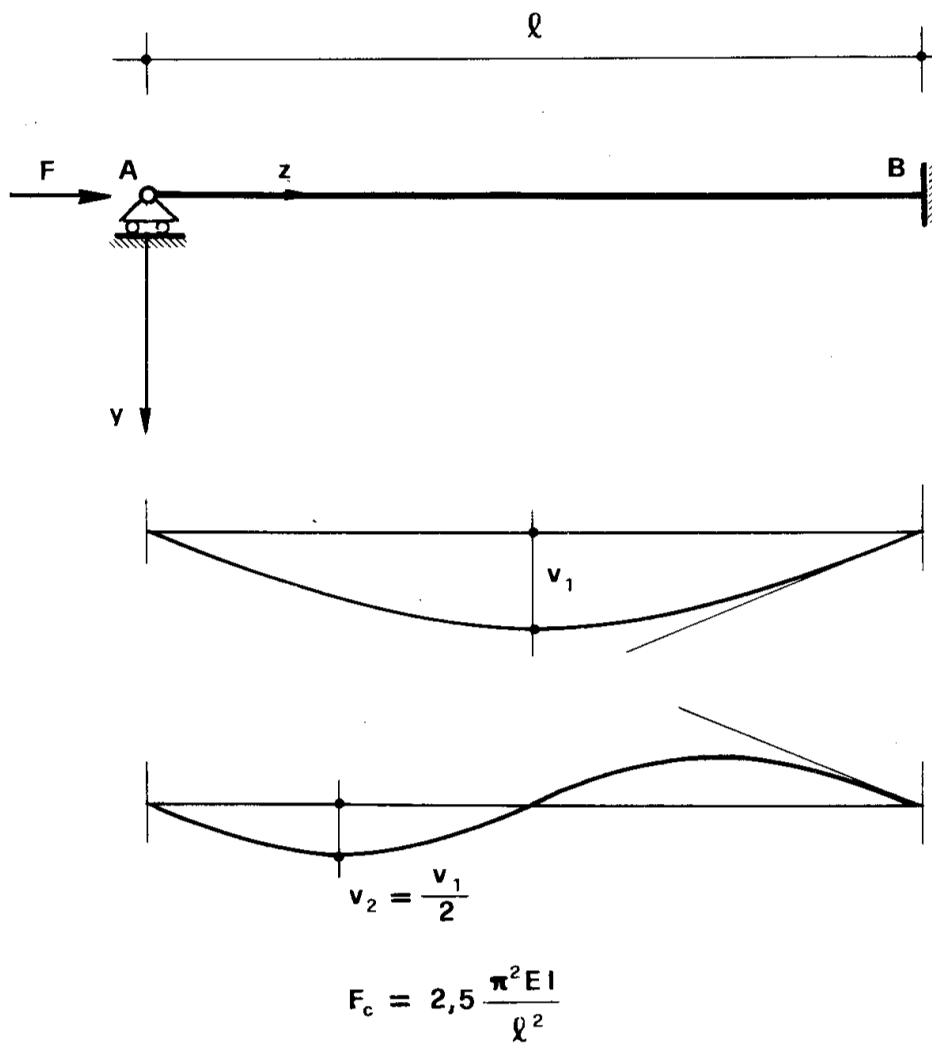


Figura 41.1.

erano rispettate in partenza.

Si ha

$$v' = v_1 \frac{\pi}{l} \left( \cos \frac{\pi z}{l} + \cos \frac{2\pi z}{l} \right)$$

$$v'' = -v_1 \frac{\pi^2}{l^2} \left( \text{sen} \frac{\pi z}{l} + 2 \text{sen} \frac{2\pi z}{l} \right)$$

$$L = \frac{EI}{2} \int_0^l v''^2 dz = \frac{5\pi^4}{4} \frac{EI}{l^3} v_1^2$$

$$P = -\frac{F}{2} \int_0^l v'^2 dz = -\frac{F\pi^2}{2l} v_1^2$$

$$E_t = \left( -\frac{F\pi^2}{2l} + \frac{5\pi^4 EI}{l^3} \right) v_1^2$$

$$\frac{dE_t}{dv_1} = \left( -\frac{F\pi^2}{l} + \frac{5\pi^4 EI}{2l^3} \right) v_1 ;$$

dalla condizione  $\frac{dE_t}{dv_1} = 0$  si trae  $v_1 \neq 0$  per

$$F = 2,5 \pi^2 \frac{EI}{l^2} . \quad (180)$$

Si studi lo stesso caso adottando come deformata la sovrapposizione di una funzione lineare e di una funzione sinusoidale di semilunghezza d'onda  $l_{on}$  (fig. 41.2):

$$v = \frac{v_0}{l} z + v_n \text{sen} \frac{\pi z}{l_{on}} \quad (181)$$

La condizione

$$z = 0 \rightarrow v = 0$$

è rispettata.

Le altre due condizioni ai limiti

$$z = l \rightarrow v = v' = 0$$

si scrivono

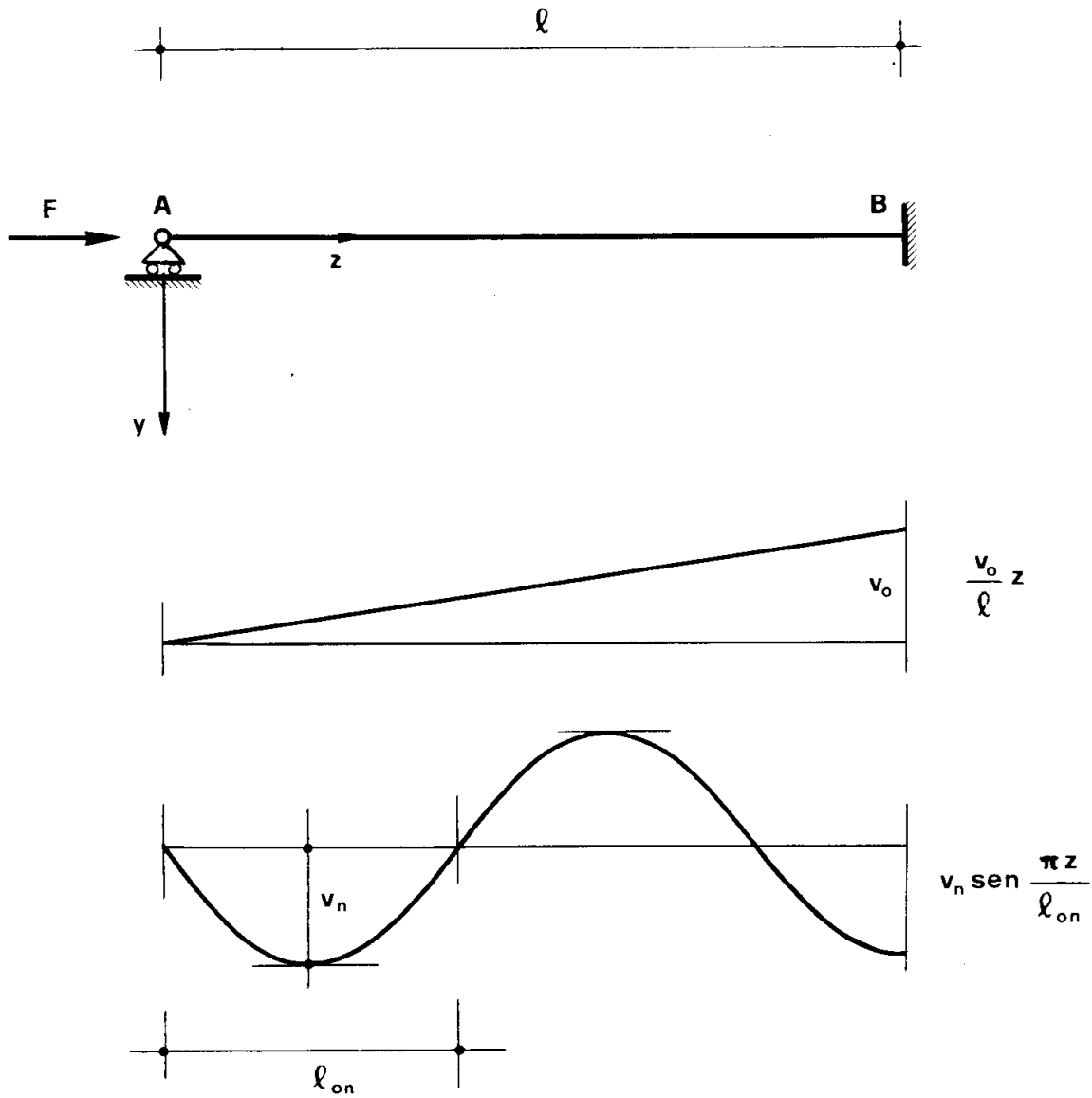


Figura 41.2.

$$v_0 + v_n \text{sen} \frac{\pi l}{l_{on}} = 0$$

$$\frac{v_0}{l} + \frac{\pi}{l_{on}} v_n \text{cos} \frac{\pi l}{l_{on}} = 0$$

da cui

$$v_0 = \dots v_n \operatorname{sen} \frac{\pi l}{l_{on}} \quad (182)$$

$$\operatorname{tg} \frac{\pi l}{l_{on}} = \frac{\pi l}{l_{on}}. \quad (183)$$

Quindi è

$$v = v_n \left( -\frac{z}{l} \operatorname{sen} \frac{\pi l}{l_{on}} + \operatorname{sen} \frac{\pi z}{l_{on}} \right). \quad (184)$$

I valori  $l_{on}$  che soddisfano la (182) formano una successione decrescente, del tipo di Cauchy, convergente a zero. Il primo valore è dato da

$$\frac{\pi l}{l_{01}} = 4,493$$

da cui

$$l_{01} = 0,6992 l. \quad (185)$$

Si opera su una deformata definita da uno sviluppo in serie completo il cui termine generico è fornito dalla (181). Si ha così

$$L = \frac{EI}{2} \int_0^l v''^2 dz = \frac{EI \pi^4}{2} \int_0^l \left( \sum \frac{v_n}{l_{on}^2} \operatorname{sen} \frac{\pi z}{l_{on}} \right)^2 dz$$

$$P = -\frac{F}{2} \int_0^l v'^2 dz = \frac{r}{2} \frac{F}{2} \int_0^l \left[ \sum v_n \left( -\frac{1}{l} \operatorname{sen} \frac{\pi l}{l_{on}} + \frac{\pi}{l_{on}} \cos \frac{\pi z}{l_{on}} \right) \right]^2 dz.$$

Ponendo

$$\frac{\pi}{l_{on}} = \alpha_n$$

si ha

$$L = \frac{EI}{2} \int_0^l (\sum v_n \alpha_n^2 \operatorname{sen} \alpha_n z)^2 dz$$

$$P = -\frac{F}{2} \int_0^l \left[ \sum v_n \left( -\frac{\operatorname{sen} \alpha_n l}{l} + \alpha_n \cos \alpha_n z \right) \right]^2 dz .$$

Per le (141) è

$$\begin{aligned} \int_0^l \operatorname{sen} \alpha_m z \operatorname{sen} \alpha_n z dz &= \frac{1}{2} \left( \frac{\operatorname{sen} (\alpha_m - \alpha_n) z}{\alpha_m - \alpha_n} - \frac{\operatorname{sen} (\alpha_m + \alpha_n) z}{\alpha_m + \alpha_n} \right) \Big|_0^l = \\ &= \frac{1}{2} \left( \frac{\operatorname{sen} (\alpha_m - \alpha_n) l}{\alpha_m - \alpha_n} - \frac{\operatorname{sen} (\alpha_m + \alpha_n) l}{\alpha_m + \alpha_n} \right) ; \end{aligned}$$

poichè è

$$\operatorname{tg} \alpha_n l = \alpha_n l$$

è pure

$$\operatorname{sen} (\alpha_m \mp \alpha_n) l = \operatorname{sen} \alpha_m l \cos \alpha_n l \mp \cos \alpha_m l \operatorname{sen} \alpha_n l =$$

$$= \frac{\operatorname{tg} \alpha_m l}{\sqrt{1 + \operatorname{tg}^2 \alpha_m l}} \frac{1}{\sqrt{1 + \operatorname{tg}^2 \alpha_n l}} \mp \frac{\operatorname{tg} \alpha_n l}{\sqrt{1 + \operatorname{tg}^2 \alpha_m l}} \frac{1}{\sqrt{1 + \operatorname{tg}^2 \alpha_n l}} =$$

$$= l \frac{\alpha_m \mp \alpha_n}{\sqrt{(1 + \alpha_m^2 l^2) (1 + \alpha_n^2 l^2)}} ;$$

quindi può scriversi

$$\int_0^l \operatorname{sen} \alpha_m z \operatorname{sen} \alpha_n z dz = \begin{cases} \frac{1}{2} \left( l - \frac{\operatorname{sen} 2 \alpha_n l}{2 \alpha_n} \right) & \text{se } m = n \\ 0 & \text{se } m \neq n . \end{cases}$$

Se ne trae

$$L = \frac{EI}{4} \sum v_n^2 \alpha_n^4 \left( l - \frac{1}{2 \alpha_n} \operatorname{sen} 2 \alpha_n l \right) .$$

Per la (172) è

$$\begin{aligned} & \int_0^l \left( -\frac{\operatorname{sen} \alpha_m l}{l} + \alpha_m \cos \alpha_m z \right) \left( -\frac{\operatorname{sen} \alpha_n l}{l} + \alpha_n \cos \alpha_n z \right) dz = \\ & = \frac{\operatorname{sen} \alpha_m l \operatorname{sen} \alpha_n l}{l} - \frac{\operatorname{sen} \alpha_m l}{l} \operatorname{sen} \alpha_n l - \frac{\operatorname{sen} \alpha_n l}{l} \operatorname{sen} \alpha_m l + \\ & + \alpha_m \alpha_n \int_0^l \cos \alpha_m z \cos \alpha_n z dz = -\frac{\operatorname{sen} \alpha_m l \operatorname{sen} \alpha_n l}{l} + \\ & + \frac{\alpha_m \alpha_n}{2} \left( \frac{\operatorname{sen} (\alpha_m + \alpha_n) l}{\alpha_m + \alpha_n} + \frac{\operatorname{sen} (\alpha_m - \alpha_n) l}{\alpha_m - \alpha_n} \right) . \end{aligned}$$

Poichè è

$$\begin{aligned} \frac{\operatorname{sen} \alpha_m l \cdot \operatorname{sen} \alpha_n l}{l} &= \frac{\operatorname{tg} \alpha_m l \cdot \operatorname{tg} \alpha_n l}{l \sqrt{1 + \operatorname{tg}^2 \alpha_m l} \sqrt{1 + \operatorname{tg}^2 \alpha_n l}} = \\ &= \frac{\alpha_m l \cdot \alpha_n l}{l \sqrt{1 + \alpha_m^2 l^2} \sqrt{1 + \alpha_n^2 l^2}} \end{aligned}$$

si verifica facilmente che è

$$\int_0^l \left( -\frac{\text{sen } \alpha_m l}{l} + \alpha_m \cos \alpha_m z \right) \left( -\frac{\text{sen } \alpha_n l}{l} + \alpha_n \cos \alpha_n z \right) dz =$$

$$= \begin{cases} \frac{\alpha_n^2}{2} \left( l - \frac{1}{2\alpha_n} \text{sen } 2\alpha_n l \right) & \text{se } m = n \\ 0 & \text{se } m \neq n . \end{cases}$$

Quindi è

$$P = -\frac{F}{4} \sum v_n^2 \alpha_n^2 \left( l - \frac{1}{2\alpha_n} \text{sen } 2\alpha_n l \right) .$$

In definitiva si ha

$$E_t = -\frac{F}{4} \sum v_n^2 \alpha_n^2 \left( l - \frac{1}{2\alpha_n} \text{sen } 2\alpha_n l \right) +$$

$$+ \frac{EI}{4} \sum v_n^2 \alpha_n^4 \left( l - \frac{1}{2\alpha_n} \text{sen } 2\alpha_n l \right) .$$

Nell'espressione della  $E_t$  non compaiono i termini rettangolari nelle  $v_i v_j$ ; è quindi lo stesso caso esaminato nell'es. 39; ogni condizione  $\frac{\partial E_t}{\partial v_n} = 0$  fornisce la soluzione  $v_n$  ed il corrispondente autovalore. Si ha infatti

$$\frac{\partial E_t}{\partial v_n} = \left[ -\frac{F}{2} \alpha_n^2 \left( l - \frac{1}{2\alpha_n} \text{sen } 2\alpha_n l \right) + \frac{EI}{2} \alpha_n^4 \left( l - \frac{1}{2\alpha_n} \text{sen } 2\alpha_n l \right) \right] v_n = 0$$

da cui

$$v_n \neq 0$$



per

$$F = F_n = EI \alpha_n^2 = \frac{\pi^2 EI}{l_{on}^2}; \quad (186)$$

la configurazione corrispondente è

$$v = v_n \left( \text{sen} \frac{\pi z}{l_{on}} - \frac{z}{l} \text{sen} \frac{\pi l}{l_{on}} \right). \quad (187)$$

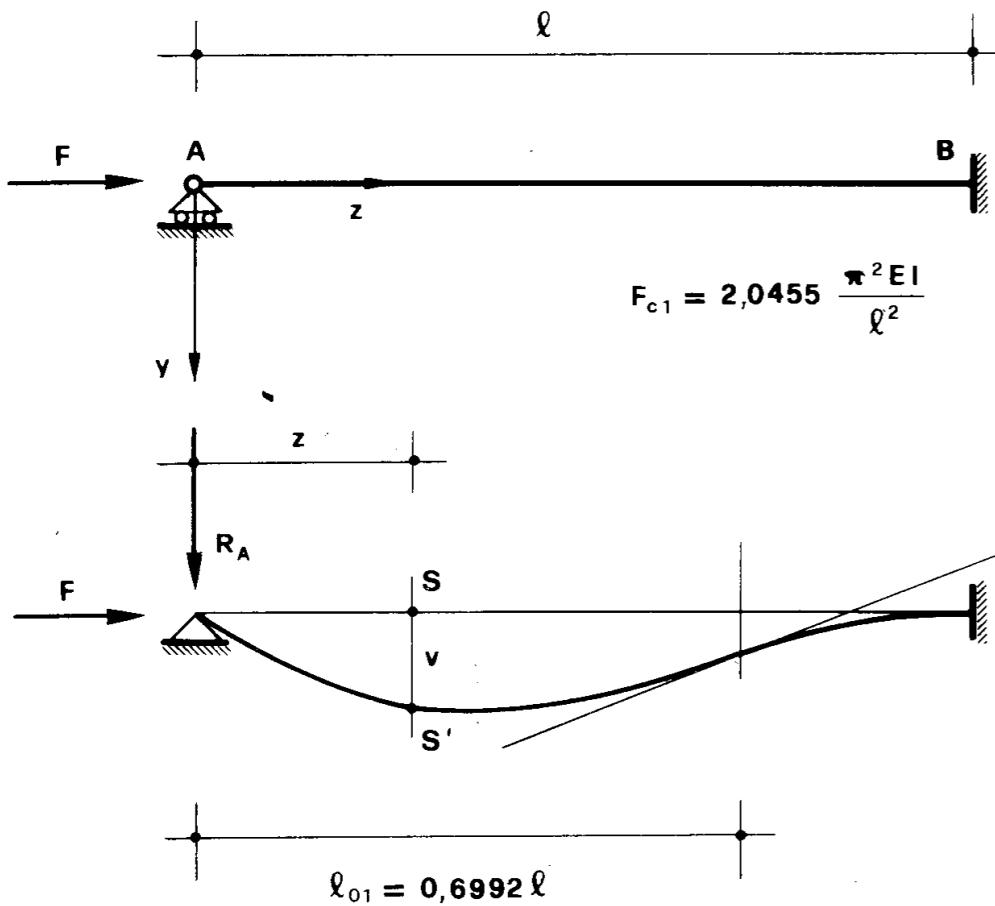


Figura 41.3.

Gli  $F_n$  costituiscono una successione crescente; il primo termine corrisponde al primo della successione  $l_{on}$  (185):

$$F_1 = \frac{\pi^2 EI}{(0,6992l)^2} = 2,0455 \pi^2 \frac{EI}{l^2}. \quad (188)$$

La deformata sotto  $F_1$  (fig. 41.3) è la (187) per  $l_{on} = l_{01}$ .

Si risolve lo stesso problema seguendo il procedimento geometrico. L'equazione di equilibrio in corrispondenza della sezione generica è<sup>(\*)</sup>

$$Fv - R_A z = -EIv'' ; \quad (189)$$

ponendo

$$k^2 = \frac{F}{EI}$$

$$\beta = \frac{R_A}{EI}$$

la (189) si scrive

$$v'' + k^2 v = \beta z . \quad (190)$$

Un integrale particolare della (190) è

$$v = \frac{\beta}{k^2} z ,$$

e perciò l'integrale generale è

$$v = A \operatorname{sen} kz + B \operatorname{cos} kz + \frac{\beta}{k^2} z .$$

Le condizioni ai limiti sono

$$z = 0 \rightarrow v = 0$$

$$z = l \rightarrow v = v' = 0 .$$

Esse si scrivono

$$B = 0$$

$$A \operatorname{sen} kl + \frac{\beta}{k^2} l = 0$$

(\*) Si opera direttamente sull'equazione  $EIv'' = -M$ , come nella trave appoggiata, perchè scrivendo la (189) ci si riferisce alla mensola con incastro in  $B$ .

$$kA \cos kl + \frac{\beta}{k^2} = 0$$

da cui si trae che  $A$  e  $\beta$  sono non nulli se e solo se

$$\operatorname{tg} kl = kl . \quad (191)$$

Le soluzioni della (191) sono una successione crescente; la più piccola è

$$kl = 4,493 ,$$

da cui

$$F_1 = k^2 EI = 20,187 \frac{EI}{l^2}$$

e ancora

$$F_1 = 2,045 \pi^2 \frac{EI}{l^2} .$$

#### Problema n. 42.

Nella trave  $AB$  della fig. 42 si pone

$$v = \sum v_n \left( \pm 1 - \operatorname{sen} \frac{(2n-1)\pi z}{2l} \right) : \quad (192)$$

+ se  $n \in N_d$   
- se  $n \in N_p$  .

le condizioni

$$z = l \rightarrow v = v' = 0$$

sono rispettate da ciascun termine dello sviluppo.

Si ha

$$v' = - \frac{\pi}{2l} \sum v_n (2n-1) \cos \frac{(2n-1)\pi z}{2l}$$

$$v'' = \frac{\pi^2}{4l^2} \sum v_n (2n-1)^2 \operatorname{sen} \frac{(2n-1)\pi z}{2l}$$

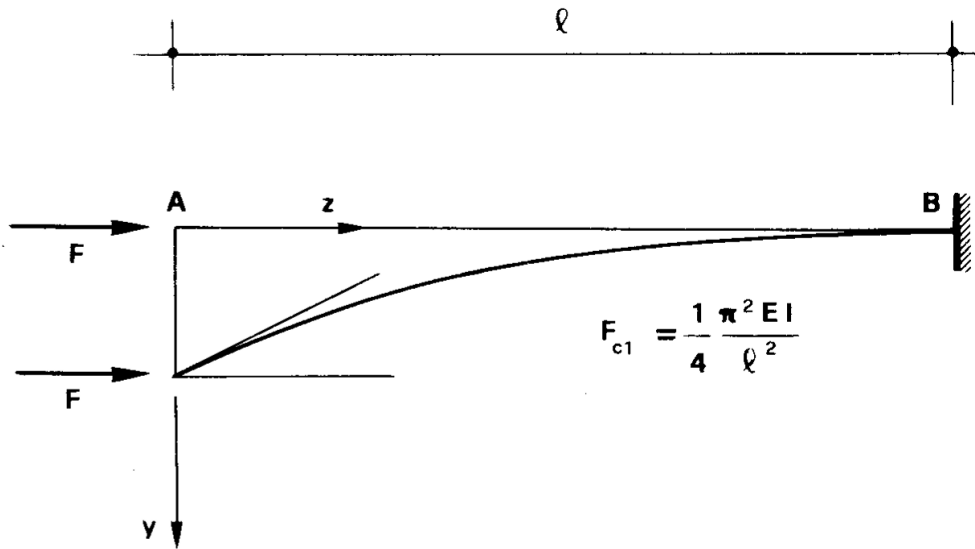


Figura 42.

e quindi

$$L = \frac{EI}{2} \int_0^l v''^2 dz = \frac{EI \pi^4}{32 l^3} \sum v_n^2 (2n-1)^4$$

$$P = -\frac{F}{2} \int_0^l v'^2 dz = -\frac{F \pi^2}{8 l} \sum v_n^2 (2n-1)^2$$

La condizione

$$\frac{\partial E_t}{\partial v_n} = \left( -\frac{F \pi^2}{4 l} (2n-1)^2 + \frac{EI \pi^4}{16 l^3} (2n-1)^4 \right) v_n = 0$$

importa  $v_n \neq 0$  per

$$F = F_n = \frac{(2n-1)^2 \pi^2 EI}{4 l^2}$$

Le  $F_n$  sono una successione crescente; il primo valore è

$$F_1 = \frac{\pi^2 EI}{4 l^2}. \quad (193)$$

Esso è il carico critico, perchè lo sviluppo (192) è completo.

**Problema n. 43.**

Nella trave  $AB$  della fig. 43 si pone

$$v = \Sigma v_n \left( 1 - \cos \frac{2n \pi z}{l} \right). \quad (194)$$

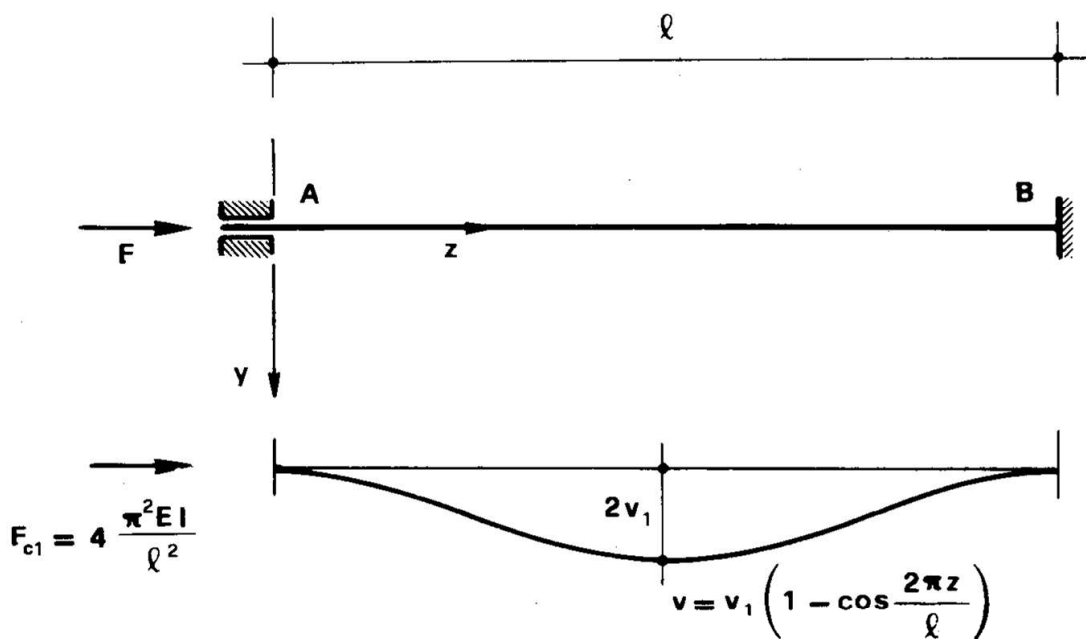


Figura 43.

Le condizioni di congruenza ai limiti

$$z \rightarrow 0 : v = v' = 0$$

$$z \rightarrow l : v = v' = 0$$

sono rispettate da ciascun termine dello sviluppo.

Si ha

$$v' = \frac{2\pi}{l} \sum v_n n \operatorname{sen} \frac{2n\pi z}{l}$$

$$v'' = \frac{4\pi^2}{l^2} \sum v_n n^2 \cos \frac{2n\pi z}{l}$$

e quindi

$$L = \frac{EI}{2} \int_0^l v''^2 dz = \frac{4EI\pi^4}{l^3} \sum v_n^2 n^4$$

$$P = -\frac{F}{2} \int_0^l v'^2 dz = -\frac{F\pi^2}{l} \sum v_n^2 n^2$$

La condizione

$$\frac{\partial E_t}{\partial v_n} = \left( -\frac{2F\pi^2}{l^2} n^2 + \frac{8EI\pi^4}{l^3} n^4 \right) v_n = 0$$

importa  $v_n \neq 0$  per

$$F = F_n = \frac{4n^2 \pi^2 EI}{l^2}$$

Le  $F_n$  sono una successione crescente; il primo valore è

$$F_1 = \frac{4\pi^2 EI}{l^2}, \quad (195)$$

cui si associa la deformata (fig. 43)

$$v = v_1 \left( 1 - \frac{\cos 2\pi z}{l} \right)$$

Lo sviluppo (194) non è completo, poichè copre tutte e solo le deformate simmetriche. Le deformate antisimmetriche però corrispondono a quelle di una trave di luce  $\frac{l}{2}$ , incastrata in un estremo e appoggiata all'altro: il più basso  $F_n$  commesso con tali deformate è (prob. 41 for. 188)

$$2,0455 \cdot 4 \frac{\pi^2 EI}{l^2},$$

superiore alla (195), che resta perciò il carico critico della struttura.

#### Problema n. 44.

La trave  $AB$  ad asse rettilineo della fig. 44 è soggetta ad un carico  $q(z)$  diretto secondo  $y$ , ad eventuali distorsioni e presenta agli estremi le rotazioni  $\varphi_A$   $\varphi_B$  e gli spostamenti  $v_A$   $v_B$ . Siano  $\overline{M}_A$  ed  $\overline{M}_B$  le coppie di incastro perfetto,  $R_A$  ed  $R_B$  le reazioni di incastro perfetto, dovute a  $q(z)$  ed alle distorsioni.

La configurazione della trave è definita dai valori  $\varphi_A$   $\varphi_B$   $v_A$   $v_B$  (le deformazioni dai tre valori  $\varphi_A$   $\varphi_B$  e  $v_B - v_A$  che quindi, dato  $q(z)$ , sono le coordinate lagrangiane della trave). Si vuole ottenere l'espressione di  $L$  e di  $P$  in funzione di tali parametri.

La  $P$  si ha immediatamente considerando che la  $v(z)$  generica è la somma delle  $v$  all'ascissa  $z$  nelle cinque configurazioni della fig. 44:

$$P = \int_A^B q (v_1 + v_2 + v_3 + v_4 + v_5) dz. \quad (196)$$

La  $L$  è composta dalla somma dei cinque termini propri, e dei termini di scambio; si noti subito che i termini  $L_{12}$ ,  $L_{13}$ ,  $L_{14}$  ed  $L_{15}$  sono nulli per il teorema di Land-Colonnetti.

E'

$$L_1 = \frac{1}{2} \int_A^B q v_1 dz = \frac{1}{2} \int_A^B q \bar{v} dz$$

$$L_2 = \frac{1}{2} \rho_{AB} \varphi_A^2$$

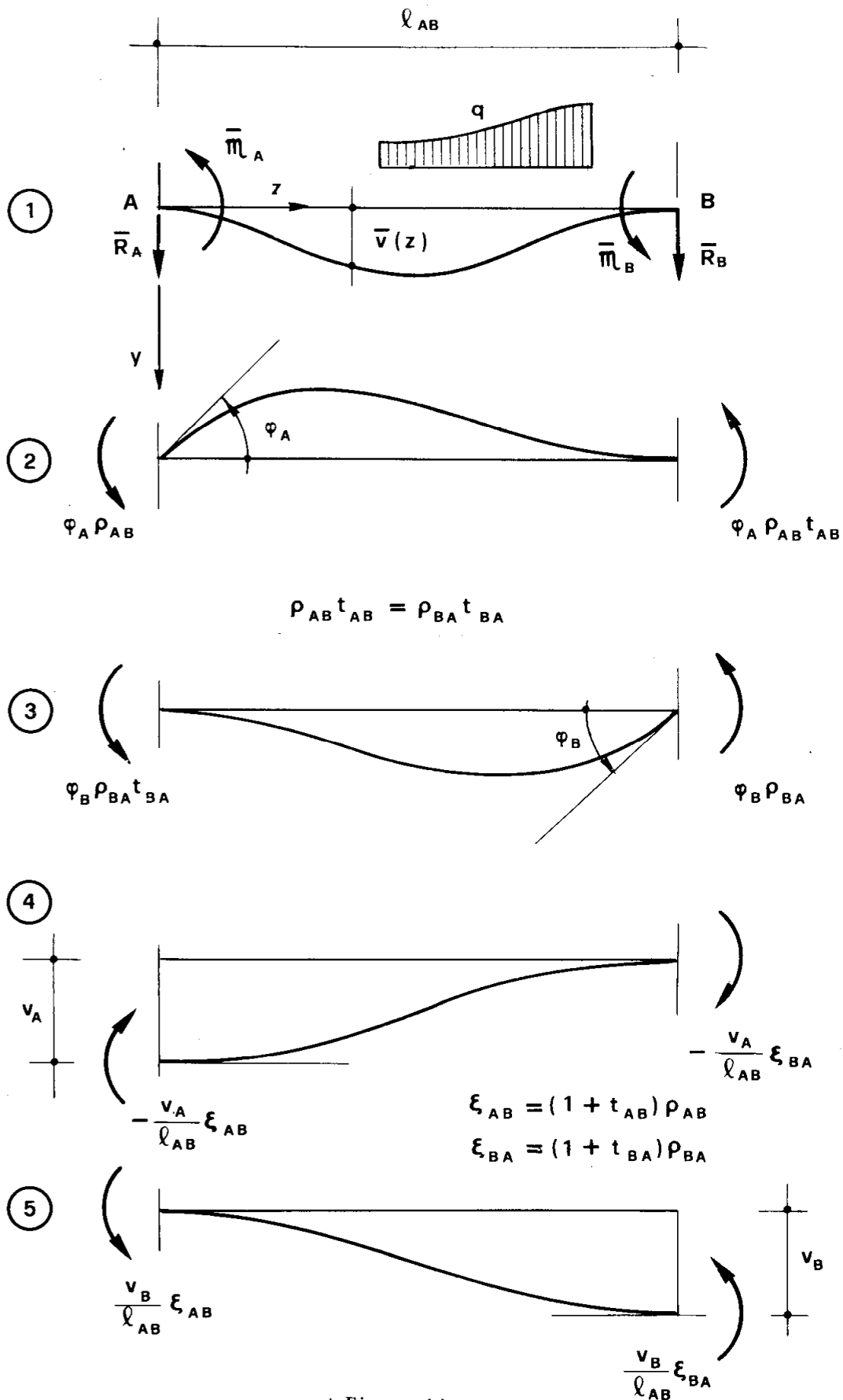


Figura 44



$$L_3 = \frac{1}{2} \rho_{BA} \varphi_B^2$$

$$L_4 = \frac{\xi_{AB} + \xi_{BA}}{2l_{AB}^2} v_A^2$$

$$L_5 = \frac{\xi_{AB} + \xi_{BA}}{2l_{AB}^2} v_B^2$$

$$L_{23} = \rho_{AB} t_{AB} \varphi_A \varphi_B \quad (197)$$

$$L_{24} = -\frac{\xi_{AB}}{l_{AB}} v_A \varphi_A$$

$$L_{25} = \frac{\xi_{AB}}{l_{AB}} v_B \varphi_A$$

$$L_{34} = -\frac{\xi_{BA}}{l_{AB}} v_A \varphi_B$$

$$L_{35} = \frac{\xi_{BA}}{l_{AB}} v_B \varphi_B$$

$$L_{45} = -\frac{\xi_{AB} + \xi_{BA}}{l_{AB}^2} v_A v_B .$$

Con riferimento alla trave  $AB$  incastrata ai due estremi, una rotazione  $\varphi_A$  del-

l'incastro  $A$  genera in  $A$  una coppia

$$\mathfrak{M}_A = \varphi_A \rho_{AB} .$$

ed in  $B$  una coppia

$$\mathfrak{M}_B = \varphi_A \rho_{AB} t_{AB} ,$$

dove  $t_{AB}$  è il coefficiente di trasmissione da  $A$  a  $B$ . Così pure una rotazione  $\varphi_B$  dell'incastro  $B$  genera le due coppie

$$\mathfrak{M}_B = \varphi_B \rho_{BA}$$

$$\mathfrak{M}_A = \varphi_B \rho_{BA} t_{BA} .$$

Poichè per il teorema di Volterra è

$$\mathfrak{M}_{B2} \cdot \varphi_B = \mathfrak{M}_{A3} \cdot \varphi_A$$

e cioè

$$\varphi_A \rho_{AB} t_{AB} \cdot \varphi_B = \varphi_B \rho_{BA} t_{BA} \cdot \varphi_A ,$$

è pure

$$\rho_{AB} t_{AB} = \rho_{BA} t_{BA} . \quad (198)$$

Una traslazione verticale  $v_A$  dell'estremo  $A$  equivale a due rotazioni  $\varphi_A = \varphi_B = -\frac{v_A}{l_{AB}}$ , e quindi genera in  $A$  una coppia

$$\mathfrak{M}_A = -\frac{v_A}{l_{AB}} \rho_{AB} - \frac{v_A}{l_{AB}} \rho_{BA} t_{BA} =$$

$$= -\frac{v_A}{l_{AB}} (\rho_{AB} + \rho_{BA} t_{BA}) = -\frac{v_A}{l_{AB}} (\rho_{AB} + \rho_{AB} t_{AB}) =$$

$$= -\frac{v_A}{l_{AB}} \rho_{AB} (1 + t_{AB}) = -\frac{v_A}{l_{AB}} \xi_{AB},$$

dove si è posto

$$\xi_{AB} = \rho_{AB} (1 + t_{AB}). \quad (199)$$

La stessa traslazione  $v_A$  genera in  $B$  una coppia

$$\begin{aligned} \mathfrak{M}_B &= -\frac{v_A}{l_{AB}} \rho_{BA} - \frac{v_A}{l_{AB}} \rho_{AB} t_{AB} = \\ &= -\frac{v_A}{l_{AB}} \xi_{BA} \end{aligned}$$

dove si è posto

$$\xi_{BA} = \rho_{BA} (1 + t_{BA}). \quad (200)$$

Analogamente può dirsi che una traslazione verticale  $v_B$  dell'estremo  $B$  genera in  $A$  e  $B$  due coppie

$$\mathfrak{M}_A = \frac{v_B}{l_{AB}} \xi_{AB}$$

$$\mathfrak{M}_B = \frac{v_B}{l_{AB}} \xi_{BA}$$

Si passi ora al calcolo di  $P$ . Ancora per il teorema di Land può scriversi

$$\int_A^B q v_2 dz + \overline{\mathfrak{M}}_A \varphi_A = 0$$

$$\int_A^B q v_3 dz + \overline{\mathfrak{M}}_B \varphi_B = 0$$

$$\int_A^B q v_4 dz + \bar{R}_A v_A = 0$$

$$\int_A^B q v_5 dz + \bar{R}_B v_B = 0 .$$

Perciò in definitiva è

$$P = - \int_A^B q v dz = - \int_A^B q \bar{v} dz + \bar{m}_A \varphi_A + \bar{m}_B \varphi_B + \bar{R}_A v_A + \bar{R}_B v_B \quad (201)$$

e quindi, per le (197),

$$E_t = - \frac{1}{2} \int_A^B q \bar{v} dz + \bar{m}_A \varphi_A + \bar{m}_B \varphi_B + \bar{R}_A v_A + \bar{R}_B v_B \\ + \varphi_A^2 \frac{\rho_{AB}}{2} + \varphi_B^2 \frac{\rho_{BA}}{2} + (v_A^2 + v_B^2) \frac{\xi_{AB} + \xi_{BA}}{2 l_{AB}^2} + \quad (202)$$

$$+ \varphi_A \varphi_B \rho_{AB} t_{AB} + \varphi_A (v_B - v_A) \frac{\xi_{AB}}{l_{AB}} + \varphi_B (v_B - v_A) \frac{\xi_{BA}}{l_{AB}} - \\ - v_A v_B \frac{\xi_{AB} + \xi_{BA}}{l_{AB}^2} .$$

Se la trave è di sezione costante è

$$\rho_{AB} = \rho_{BA} = \frac{4 EI}{l}$$

$$t_{AB} = t_{BA} = \frac{1}{2}$$

$$\xi_{AB} = \xi_{BA} = \frac{6EI}{l} ,$$

e quindi la (201) si scrive

$$\begin{aligned} E_t = & -\frac{1}{2} \int_A^B q \bar{v} dz + \bar{m}_A \varphi_A + \bar{m}_B \varphi_B + \bar{R}_A v_A + \bar{R}_B v_B + \\ & + \frac{2EI}{l} (\varphi_A^2 + \varphi_B^2) + \frac{6EI}{l^3} (v_A^2 + v_B^2) + \\ & + \frac{2EI}{l} \varphi_A \varphi_B + \frac{6EI}{l^2} (-\varphi_A v_A + \varphi_A v_B - \varphi_B v_A + \varphi_B v_B) - \\ & - \frac{12EI}{l^3} v_A v_B . \end{aligned} \quad (203)$$

I simboli  $E$ ,  $I$  ed  $l$  devono intendersi affetti dal deponente  $AB$ .

Si osservi che nelle derivate di  $E_t$  rispetto a  $\varphi_A$ ,  $\varphi_B$ ,  $v_A$  e  $v_B$  il termine in  $\bar{v}$  scompare, e quindi il carico  $q$  gioca solo attraverso coppie e reazioni di incastro perfetto.

#### Problema n. 45.

Si vogliono le rotazioni  $\varphi_A$  e  $\varphi_B$  degli estremi della trave  $AB$  appoggiata, di luce  $l$  (fig. 45). La  $E_t$  non contiene i termini in  $v_A$  e  $v_B$ , poichè essi sono nulli. I valori di  $\varphi_A$  e  $\varphi_B$  che corrispondono alla soluzione equilibrata sono le radici del sistema

$$\frac{\partial E_t}{\partial \varphi_A} = \bar{m}_A + \varphi_A \rho_{AB} + \varphi_B \rho_{AB} t_{AB} = 0$$

$$\frac{\partial E_t}{\partial \varphi_B} = \bar{m}_B + \varphi_A \rho_{AB} t_{AB} + \varphi_B \rho_{BA} = 0$$

da cui

$$\varphi_A = - \frac{\bar{m}_A \rho_{BA} - \bar{m}_B \rho_{AB} t_{AB}}{\rho_{AB} \rho_{BA} - \rho_{AB}^2 t_{AB}^2}$$

$$\varphi_B = \frac{\bar{m}_A \rho_{AB} t_{AB} - \bar{m}_B \rho_{AB}}{\rho_{AB} \rho_{BA} - \rho_{AB}^2 t_{AB}^2} \quad (204)$$

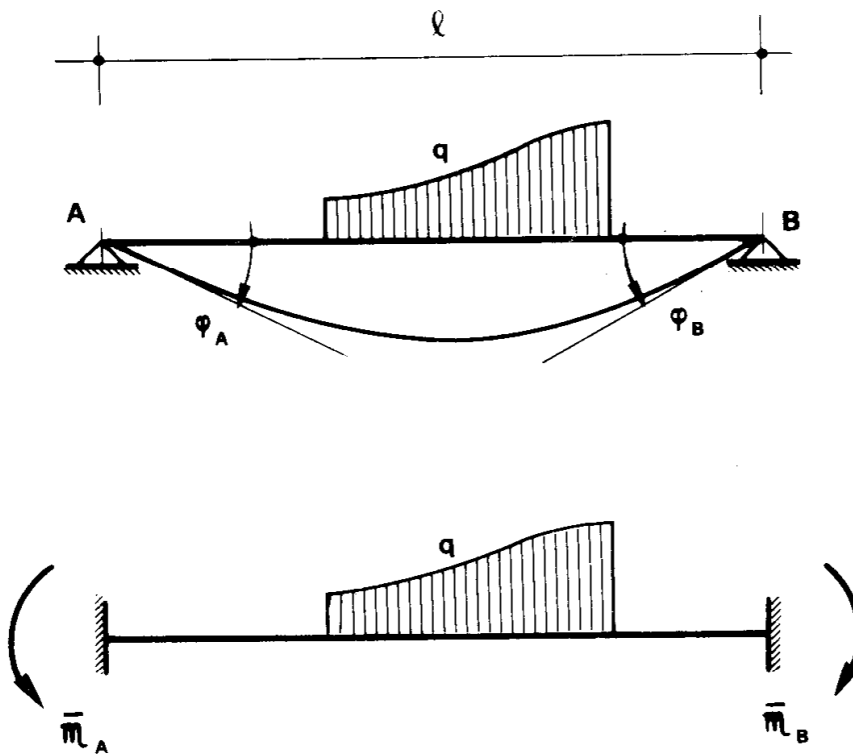


Figura 45.

Se la trave è con  $EI = cost.$ , si ha

$$\varphi_A = - \frac{l}{6EI} (2\bar{m}_A - \bar{m}_B)$$

(205)

$$\varphi_B = \frac{l}{6EI} (\bar{m}_A - 2\bar{m}_B)$$

**Problema n. 46.**

Le coordinate lagrangiane del portale della fig. 46 sono le rotazioni  $\varphi_1$  e  $\varphi_2$  dei nodi  $B$  e  $C$ , e lo spostamento  $\Delta$  (orizzontale) del traverso  $BC$  (positivo verso destra). Si indica con  $\psi$  l'angolo

$$\psi = -\frac{\Delta}{h}. \quad (206)$$

Il prodotto  $EI$  è costante per tutta la struttura.

Dalla (146) si calcolano le espressioni di  $E_t$  relative a ciascuna di tali travi:

1) Trave  $AB$ .

Si fa coincidere la  $t$  prefissata della trave con la  $z$  della fig. 44. E' così

$$\bar{m}_A = \frac{qh^2}{12} \quad \varphi_A = 0$$

$$\bar{m}_B = -\frac{qh^2}{12} \quad \varphi_B = \varphi_1$$

$$\bar{R}_A = -\frac{qh}{2} \quad v_A = 0$$

$$\bar{R}_B = -\frac{qh}{2} \quad v_B = -h\psi.$$

Si ha perciò

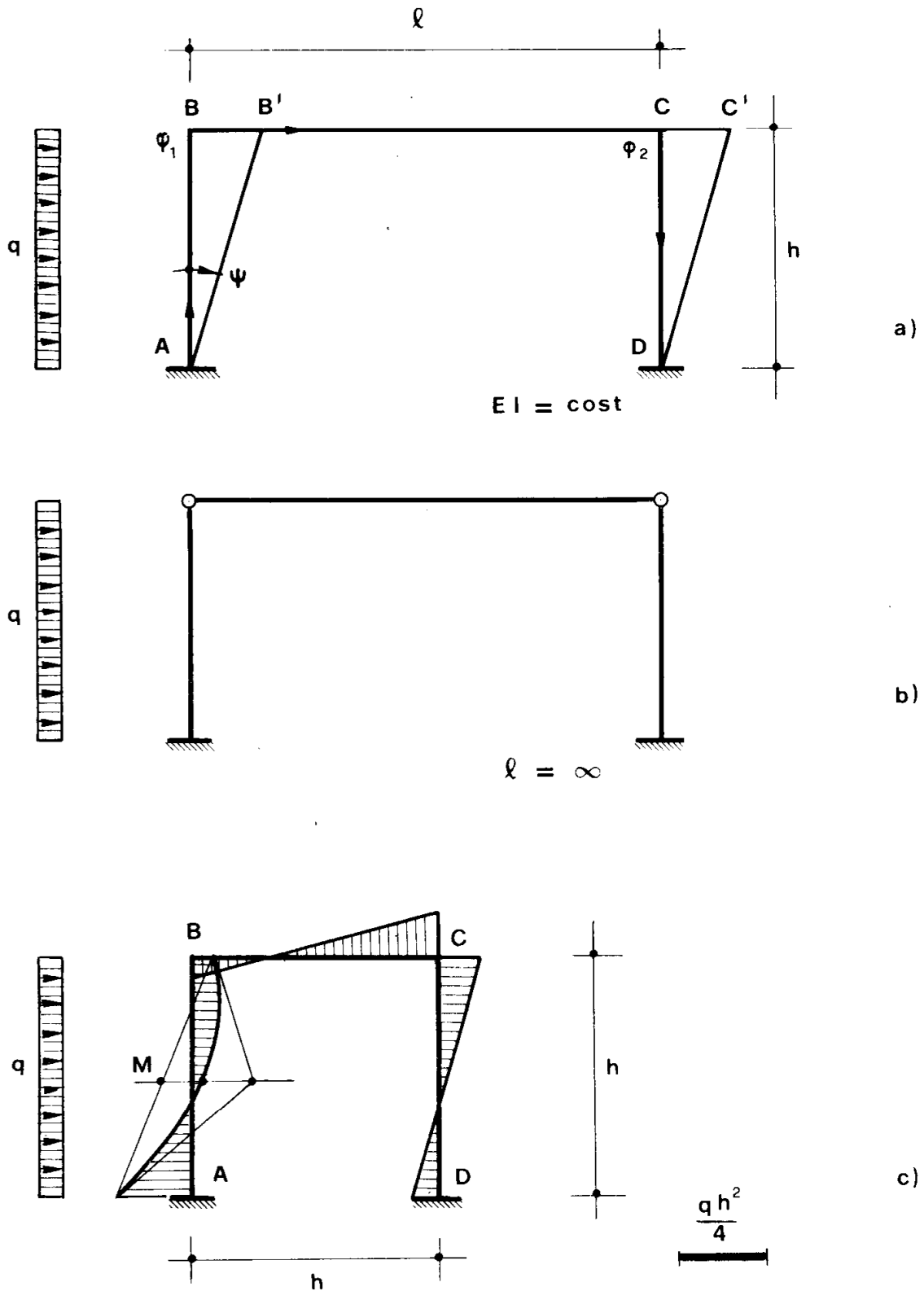


Figura 46



$$E_{tAB} = -\frac{q}{2} \int_A^B \bar{v} dt - \frac{qh^2}{12} \varphi_1 + \frac{qh^2}{2} \psi + \\ + \frac{2EI}{h} \varphi_1^2 + \frac{6EI}{h} \psi^2 - \frac{6EI}{h} \varphi_1 \psi .$$

2) Trave *BC*.

Si ha

$$\bar{m}_A = \bar{m}_B = \bar{R}_A = \bar{R}_B = 0$$

$$\bar{v} = 0$$

$$\varphi_A = \varphi_1$$

$$\varphi_B = \varphi_2$$

$$v_A = v_B = 0$$

E' quindi

$$E_{tBC} = \frac{2EI}{l} (\varphi_1^2 + \varphi_2^2) + \frac{2EI}{l} \varphi_1 \varphi_2$$

3) Trave *CD*.

Si ha

$$\bar{m}_A = \bar{m}_B = \bar{R}_A = \bar{R}_B = 0$$

$$\bar{v} = 0$$

$$\varphi_A = \varphi_2$$

$$\varphi_B = 0$$

$$v_A = h \psi$$

$$v_B = 0 .$$

E' quindi

$$\begin{aligned} E_{tCD} &= \frac{2EI}{h} \varphi_2^2 + \frac{6EI}{h^3} h^2 \psi^2 - \frac{6EI}{h^2} \varphi_2 h \psi = \\ &= \frac{2EI}{h} \varphi_2^2 + \frac{6EI}{h} \psi^2 - \frac{6EI}{h} \varphi_2 \psi . \end{aligned}$$

Sommando i tre termini di  $E_t$  si ottiene

$$\begin{aligned} E_t &= -\frac{q}{2} \int_A^B \bar{v} dt - \frac{qh^2}{12} \varphi_1 + \frac{qh^2}{2} \psi + \\ &+ \frac{2EI(l+h)}{lh} (\varphi_1^2 + \varphi_2^2) + \frac{12EI}{h} \psi^2 + \quad (207) \\ &+ \frac{2EI}{l} \varphi_1 \varphi_2 - \frac{6EI}{h} (\varphi_1 + \varphi_2) \psi . \end{aligned}$$

Le tre condizioni

$$\frac{\partial E_t}{\partial \varphi_1} = \frac{\partial E_t}{\partial \varphi_2} = \frac{\partial E_t}{\partial \psi} = 0$$

conducono al sistema

$$\frac{2(h+l)}{hl} \varphi_1 + \frac{1}{l} \varphi_2 - \frac{3}{h} \psi = \frac{qh^2}{24EI}$$

$$\frac{1}{l} \varphi_1 + \frac{2(h+l)}{hl} \varphi_2 - \frac{3}{h} \psi = 0$$

$$-\frac{3}{h} \varphi_1 - \frac{3}{h} \varphi_2 + \frac{12}{h} \psi = -\frac{qh^2}{4EI}$$

la cui soluzione è

$$\varphi_1 = -\frac{qh^3}{24EI} \frac{7l^2 - 2hl}{12h^2 + 4l^2 + 26hl}$$

$$\varphi_2 = -\frac{qh^3}{24EI} \frac{9l^2 + 10hl}{12h^2 + 4l^2 + 26hl} \quad (208)$$

$$\psi = -\frac{qh^3}{24EI} \frac{6h^2 + 6l^2 + 15hl}{12h^2 + 4l^2 + 26hl}$$

Il caso  $l \rightarrow \infty$  è quello della fig. 46b, in cui, assumendo come incognita lo sforzo  $X$  nel pendolo  $BC$ , si può scrivere l'equazione di congruenza ( $X$  positivo se  $BC$  è tirante)

$$\frac{qh^4}{8EI} + \frac{Xh^3}{3EI} = -\frac{Xh^3}{3EI};$$

da essa si trae

$$X = -\frac{3}{16} qh$$

$$\psi = -\frac{1}{h} \cdot \frac{3}{16} qh \cdot \frac{h^3}{3EI} = -\frac{qh^3}{16EI}$$

$$\varphi_1 = -\frac{qh^3}{6EI} - \frac{Xh^2}{2EI} = -\frac{7}{96} \frac{qh^3}{EI}$$

$$\varphi_2 = \frac{Xh^2}{2EI} = -\frac{3}{32} \frac{qh^3}{EI}$$

Tali sono pure i valori limiti delle (208) per  $l \rightarrow \infty$ .

Si verifica pure che per  $l \rightarrow 0$  (traverso  $BC$  infinitamente rigido) è  $\varphi_1 \rightarrow 0$ ,  $\varphi_2 \rightarrow 0$ , e

$$\frac{qh^3}{48EI}$$

il lettore giustifichi tale valore ponendo prima un appoggio fittizio in  $C$ , e poi sottoponendo il traverso rigido alla forza orizzontale  $\frac{qh}{2}$ .

Dalle (208) si vuol risalire ai valori dei momenti; si scrive perciò, con riferimento alle travi  $AB$  e  $CD$ ,

$$m_A = \frac{qh^2}{12} + \frac{6EI}{h^2} \Delta + \frac{2EI}{h} \varphi_1 =$$

$$= \frac{qh^2}{12} - \frac{6EI}{h} \psi + \frac{2EI}{h} \varphi_1 =$$

$$= \frac{qh^2}{12} \frac{30h^2 + 15l^2 + 73hl}{12h^2 + 4l^2 + 26hl};$$

$$m_B = -\frac{qh^2}{12} - \frac{6EI}{h} \psi + \frac{4EI}{h} \varphi_1 =$$

$$= \frac{qh^2}{12} \frac{6h^2 + 23hl}{12h^2 + 4l^2 + 26hl}$$

$$m_C = -\frac{6EI}{h} \psi + \frac{2EI}{h} \varphi_2 =$$

$$= \frac{qh^2}{12} \frac{18h^2 + 9l^2 + 35hl}{12h^2 + 4l^2 + 26hl};$$

$$\begin{aligned} m_D &= -\frac{6EI}{h} \psi + \frac{4EI}{h} \varphi_2 = \\ &= \frac{qh^2}{12} \frac{18h^2 + 25hl}{12h^2 + 4l^2 + 26hl} . \end{aligned}$$

Per  $h = l$  si ha

$$m_A = \frac{118}{42} \frac{qh^2}{12}$$

$$m_B = \frac{29}{42} \frac{qh^2}{12}$$

$$m_C = \frac{62}{42} \frac{qh^2}{12}$$

$$m_D = \frac{43}{42} \frac{qh^2}{12} ;$$

con tali valori si è disegnato il diagramma della fig. 46c.

### Problema n. 47.

La stessa struttura del problema precedente è soggetta (fig. 47) ad una forza  $F$  orizzontale sul traverso  $BC$ . Nella trave  $AB$  si ha

$$\bar{m}_A = \bar{m}_B = \bar{R}_A = 0, \quad \bar{v} = 0 ,$$

$$\bar{R}_B = -F ,$$

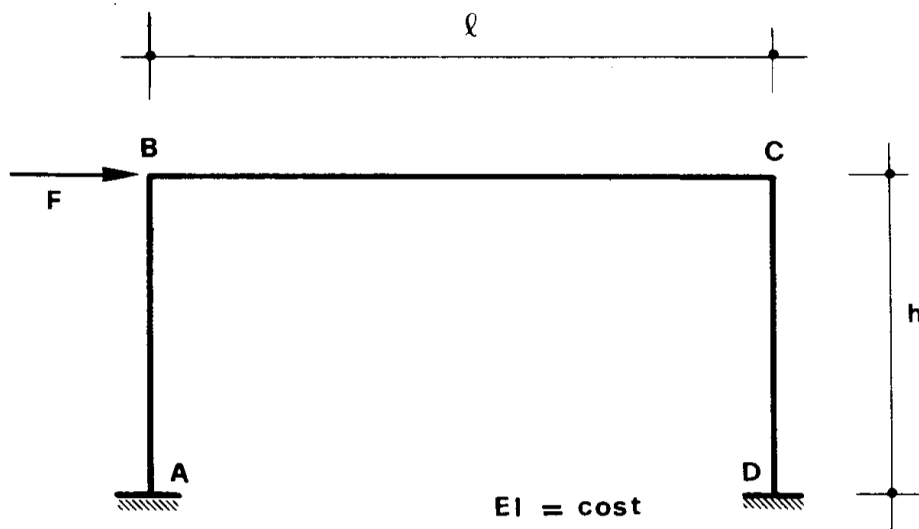
e quindi

$$E_{tAB} = Fh\psi + \frac{2EI}{h}\varphi_1^2 + \frac{6EI}{h}\psi^2 - \frac{6EI}{h}\varphi_1\psi.$$

Le espressioni di  $E_{tBC}$  ed  $E_{tCD}$  restano inalterate. E' perciò

$$E_t = Fh\psi + \frac{2EI(l+h)}{lh}(\varphi_1^2 + \varphi_2^2) + \frac{12EI}{h}\psi^2 +$$

$$+ \frac{2EI}{l}\varphi_1\varphi_2 - \frac{6EI}{h}(\varphi_1 + \varphi_2)\psi. \quad (209)$$



Le tre condizioni

$$\frac{\partial E_t}{\partial \varphi_1} = \frac{\partial E_t}{\partial \varphi_2} = \frac{\partial E_t}{\partial \psi} = 0$$

conducono al sistema

$$\frac{2(h+l)}{hl} \varphi_1 + \frac{1}{l} \varphi_2 - \frac{3}{h} \psi = 0$$

$$\frac{1}{l} \varphi_1 + \frac{2(h+l)}{hl} \varphi_2 - \frac{3}{h} \psi = 0$$

$$-\frac{3}{h} \varphi_1 - \frac{3}{h} \varphi_2 + \frac{12}{h} \psi = -\frac{Fh}{2EI}$$

la cui soluzione è

$$\varphi_1 = -\frac{Fh^2}{2EI} \frac{2l^2 + hl}{12h^2 + 4l^2 + 26hl} = \varphi_2$$

$$\psi = -\frac{Fh^2}{6EI} \frac{4l^2 + 3h^2}{12h^2 + 4l^2 + 26hl}$$

Per  $l \rightarrow \infty$  è

$$\varphi_1 = \varphi_2 \rightarrow -\frac{Fh^2}{4EI}$$

$$\psi \rightarrow -\frac{Fh^2}{6EI};$$

per  $l \rightarrow 0$  è

$$\varphi_1 = \varphi_2 \rightarrow 0$$

$$\psi \rightarrow \frac{Fh^2}{24EI}$$

Verifichi il lettore che tali valori corrispondono ai due casi in cui il traverso  $BC$  è caratterizzato da rigidezza nulla o infinitamente grande.

Si osservi che le espressioni (207) e (209) di  $E_t$  differiscono soltanto nel termine noto e nei termini lineari nelle incognite, quindi i due sistemi che ne derivano hanno la stessa matrice dei coefficienti.

**Problema n. 48.**

Si prende in esame un generico telaio di routine, in cui cioè (fig. 48.1)

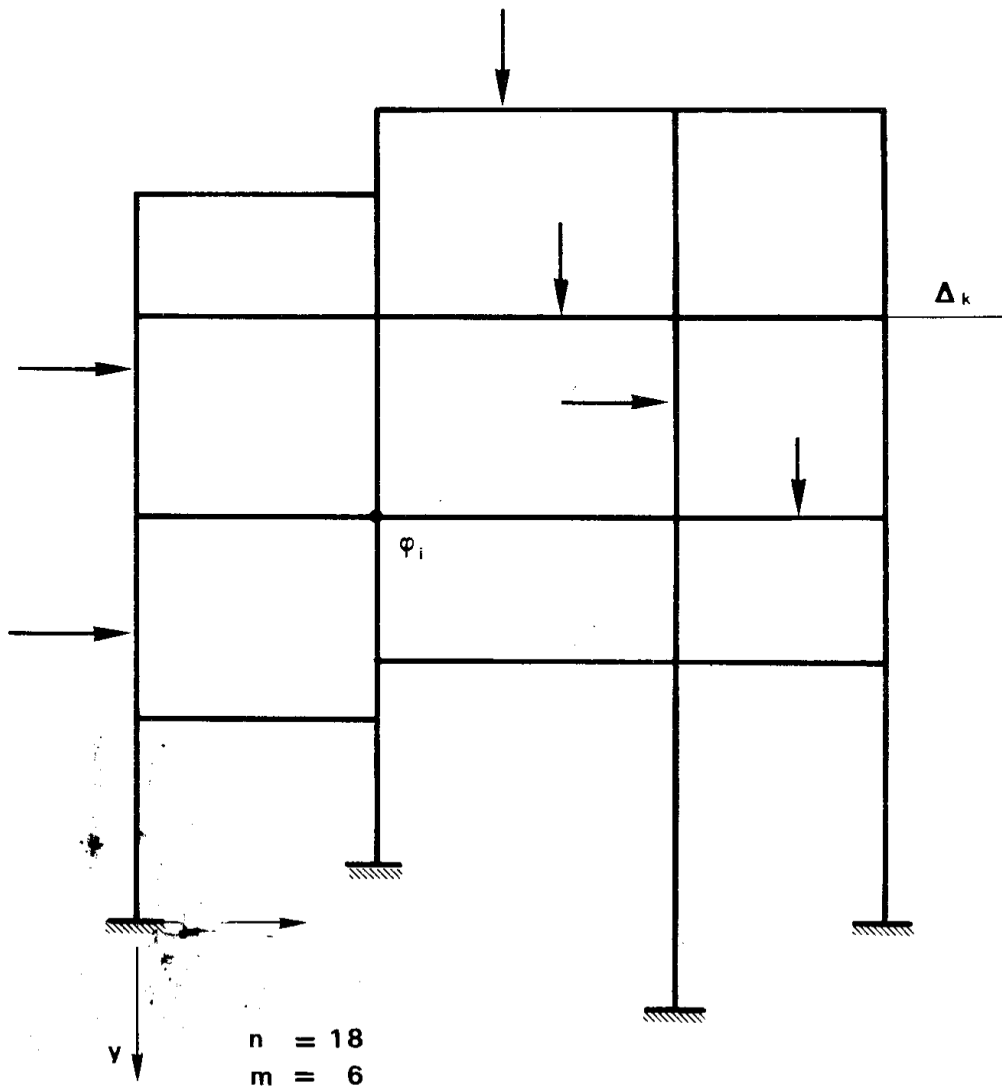


Figura 48.1.

le travi sono orizzontali o verticali, ed i nodi possono spostarsi solo orizzontalmente. Le incognite del problema sono quindi le rotazioni  $\varphi_i$  dei nodi e gli spostamenti  $\Delta_k$  dei traversi. Si supponga inoltre che tra due nodi  $i$  ed  $h$  adiacenti, e cioè per ogni trave  $ih$ , sia  $EI = cost.$ ; se  $E_{ih} I_{ih}$  è il pro-



dotto  $EI$  della generica trave, ed  $l_{ih}$  la sua lunghezza, si pone

$$\rho_{ih} = \frac{4 E_{ih} I_{ih}}{I_{ih}} \quad (210)$$

L'espressione di  $E_{tih}$  per ogni trave è la (203), ove si ponga  $A = i$ ,  $B = h$ ; l'energia potenziale totale è

$$E_t = \Sigma E_{tih}$$

estesa a tutte le travi.

Le condizioni che risolvono il problema sono le

$$\frac{\partial E_t}{\partial \varphi_i} = 0 \quad i = 1, 2, \dots n \quad (211)$$

$$\frac{\partial E_t}{\partial \Delta_k} = 0 \quad k = 1, 2, \dots m$$

dove  $n$  è il numero dei nodi ed  $m$  quello dei traversi.

La  $\varphi_i$  entra soltanto nelle  $E_{tih}$  delle travi che concorrono in  $i$ ; quindi la prima delle (211) si scrive

$$\begin{aligned} \frac{\partial E_t}{\partial \varphi_i} = & \varphi_i \Sigma' \rho + \Sigma' \overline{m}_i + \frac{1}{2} \Sigma' \varphi_h \rho + \\ & + \frac{3}{2} \left[ \frac{\rho_{is}}{l_s} (\Delta_{is} \dots \Delta_i) + \frac{\rho_{ii}}{l_i} (\Delta_i \dots \Delta_{ii}) \right] = 0 . \end{aligned} \quad (212)$$

Le  $\Sigma'$  sono estese alle sole travi, orizzontali e verticali, che concorrono in  $i$ . Con il secondo indice  $i$  ( $s$ ) si indicano gli elementi relativi al ritto al di sotto (al di sopra) di  $i$ . Per i segni si ricordi che  $\varphi$  ed  $m$  sono positive se antiorarie ( $m$  agente dal nodo sulla trave),  $\Delta$  è positivo se diretto verso destra.

La  $\Delta_k$  entra soltanto nelle  $E_{tjh}$  dei ritti confluenti sul traverso  $k$ ; quindi la seconda delle (211) si scrive

$$\begin{aligned} \frac{\partial E_t}{\partial \Delta_k} &= 3 \Delta_k \Sigma'' \frac{\rho}{l^2} + \Sigma'' \bar{R}_j - \\ &- \frac{3}{2} \Sigma'' \frac{\rho_{js}}{l_s} (\varphi_k + \varphi_{ks}) + \frac{3}{2} \Sigma'' \frac{\rho_{ji}}{l_i} (\varphi_k + \varphi_{ki}) - \\ &- 3 \Delta_{ks} \Sigma'' \frac{\rho_{js}}{l_s^2} - 3 \Delta_{ki} \Sigma'' \frac{\rho_{ji}}{l_i^2} = 0 \end{aligned} \quad (213)$$

Le  $\bar{R}_j$  sono positive se dirette verso destra.

Le  $\Sigma''$  sono estese ai ritti che confluiscono nel traverso  $k$ . Le  $\Sigma''_i$  (e  $\Sigma''_s$ ) sono estese ai soli ritti che confluiscono dal di sotto (dal di sopra) nel traverso  $k$ .

Le (212) e (213) prendono rispettivamente nome di *equazioni di nodo* ed *equazioni di piano*: le (212) sono le ben note equazioni di Gehler, o delle cinque rotazioni.

Si consideri in concreto il telaio della fig. 48.2;  $EI$  è costante in tutta la struttura. Data la simmetria della struttura e l'antisimmetria delle forze applicate le incognite sono quattro,  $\varphi_1$   $\varphi_2$   $\Delta_1$   $\Delta_2$ . Le (212) si riducono così a due, che si scrivono come segue:

$$14 \frac{EI}{l} \varphi_1 + 2 \frac{EI}{l} \varphi_2 + \quad \quad \quad + 6 \frac{EI}{l^2} \Delta_2 = 0$$

$$2 \frac{EI}{l} \varphi_1 + 10 \frac{EI}{l} \varphi_2 - 6 \frac{EI}{l^2} \Delta_1 + 6 \frac{EI}{l^2} \Delta_2 = 0 .$$

Le (213), dal loro canto, danno

$$- 12 \frac{EI}{l^2} \varphi_2 + 48 \frac{EI}{l^3} \Delta_1 - 24 \frac{EI}{l^3} \Delta_2 = F .$$

$$12 \frac{EI}{l^2} \varphi_1 + 12 \frac{EI}{l^2} \varphi_2 - 24 \frac{EI}{l^3} \Delta_1 + 24 \frac{EI}{l^3} \Delta_2 = F .$$

Il sistema può scriversi perciò come segue:

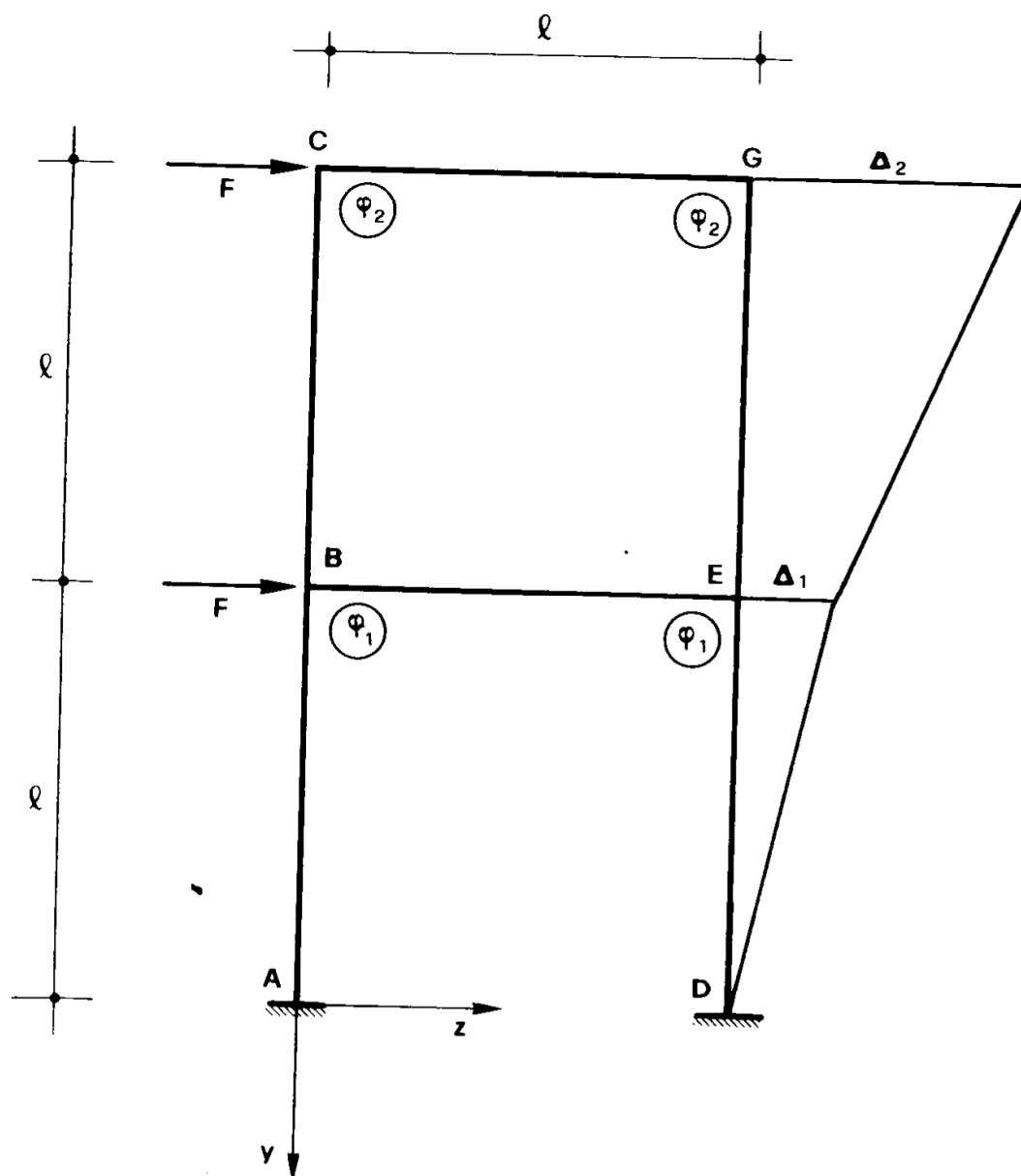


Figura 48.2.

$$7 \varphi_1 + 5 \bar{\varphi}_2 + 3 \frac{\Delta_2}{l} = 0$$

$$\varphi_1 + 5 \varphi_2 - 3 \frac{\Delta_1}{l} + 3 \frac{\Delta_2}{l} = 0$$

$$-3 \varphi_2 + 12 \frac{\Delta_1}{l} - 6 \frac{\Delta_2}{l} = \frac{Fl^2}{4EI}$$

$$3 \varphi_1 + 3 \varphi_2 - 6 \frac{\Delta_1}{l} + 6 \frac{\Delta_2}{l} = \frac{Fl^2}{4EI}$$

la cui soluzione è

$$\begin{aligned}\varphi_1 &= -0,100 \frac{Fl^2}{EI} \\ \varphi_2 &= -0,050 \frac{Fl^2}{EI} \\ \Delta_1 &= 0,133 \frac{Fl^3}{EI} \\ \Delta_2 &= 0,250 \frac{Fl^3}{EI}\end{aligned}\tag{214}$$

Le coppie di incastro sono fornite da

$$m_A = \frac{6EI}{l^2} \Delta_1 + \frac{2EI}{l} \varphi_1 = 0,600 Fl$$

$$m_{BA} = \frac{6EI}{l^2} \Delta_1 + \frac{4EI}{l} \varphi_1 = 0,400 Fl$$

$$m_{BC} = \frac{6EI}{l^2} (\Delta_2 - \Delta_1) + \frac{4EI}{l} \varphi_1 + \frac{2EI}{l} \varphi_2 = 0,200 Fl$$

$$m_{CB} = \frac{6EI}{l^2} (\Delta_2 - \Delta_1) + \frac{2EI}{l} \varphi_1 + \frac{4EI}{l} \varphi_2 = 0,300 Fl$$

$$m_{BE} = \frac{6EI}{l} \varphi_1 = -0,600 Fl$$

$$m_{CG} = \frac{6EI}{l} \varphi_2 = -0,300 Fl$$

Si verifica che è

$$m_{BA} + m_{BE} + m_{BC} = 0$$

$$m_{CB} + m_{CG} = 0$$

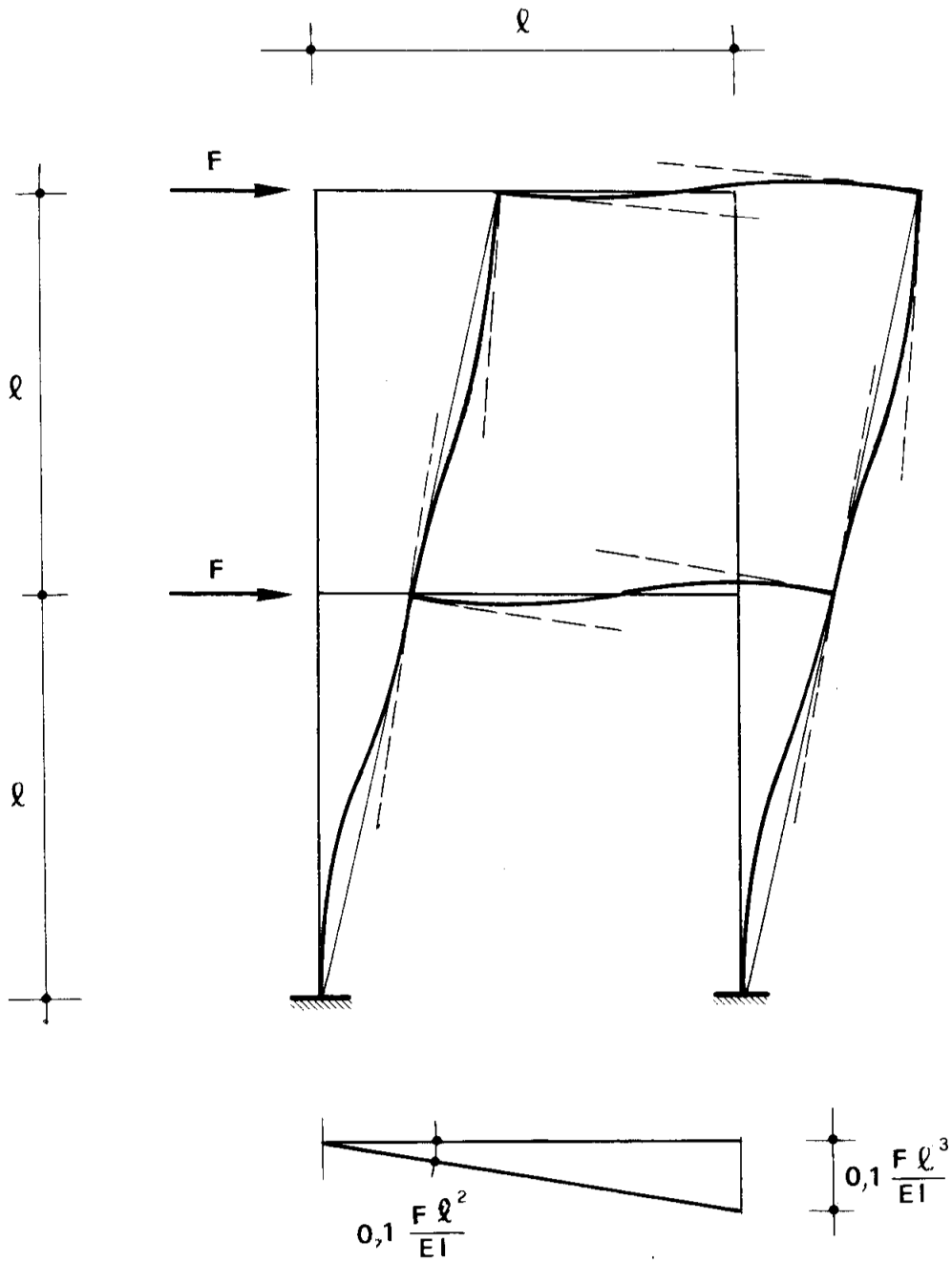


Figura 48.3.

$$- 2 \frac{m_A + m_{BA}}{l} + 2F = 0$$

$$- 2 \frac{m_{BC} + m_{CB}}{l} + F = 0$$

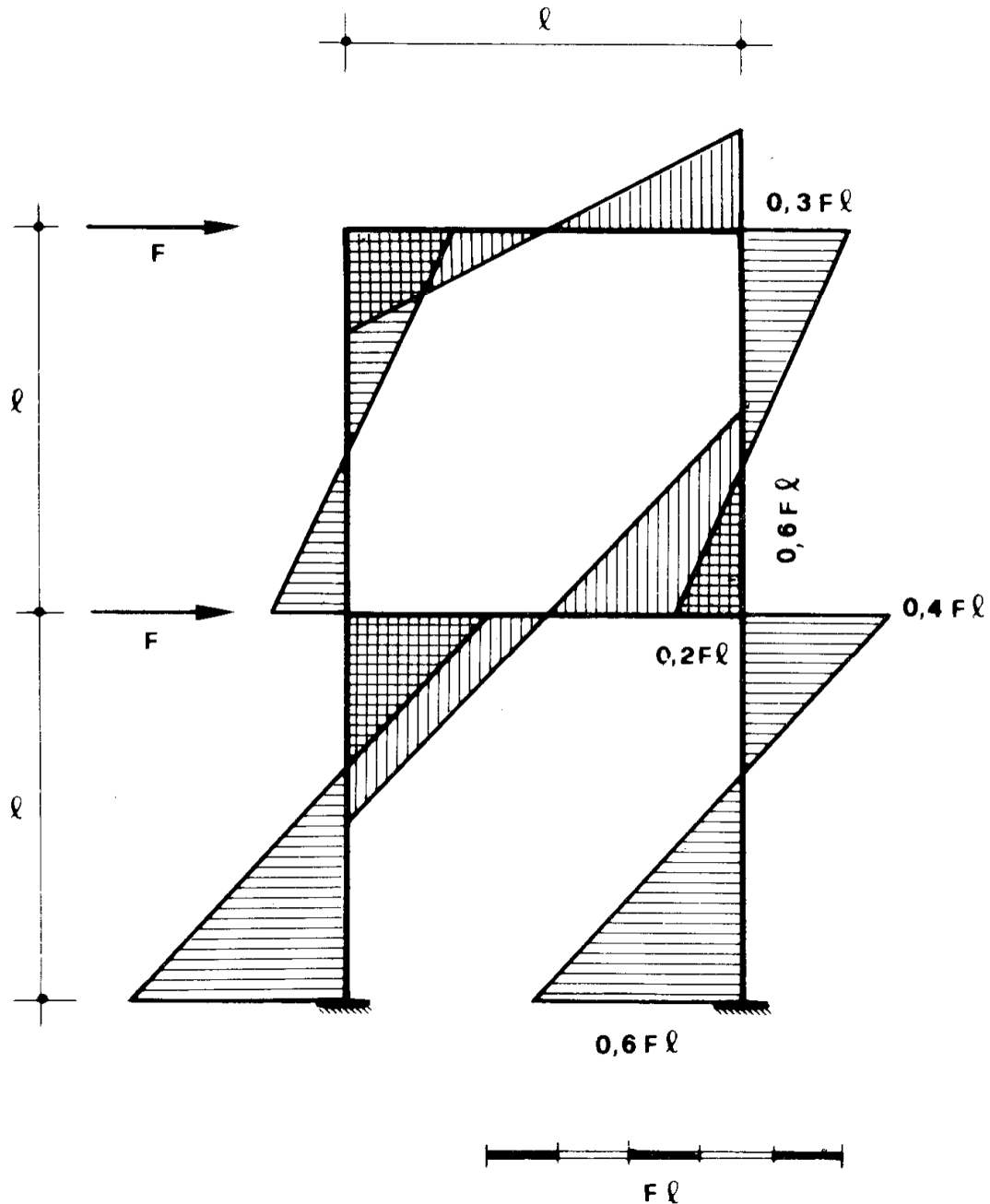


Figura 48.4.

Sono così verificate le condizioni di equilibrio alla rotazione dei nodi, e le condizioni di equilibrio alla traslazione orizzontale dei due traversi.

Nella fig. 48.3 è disegnata la deformata della struttura, nella fig. 48.4 è disegnato il diagramma dei momenti.

Problema n. 49.

Si prende in esame la struttura della fig. 49.1; in ogni trave  $EI = cost.$  Le rotazioni incognite  $\varphi$  sono cinque, gli spostamenti  $\Delta$  sono tre (fig. 49.2).

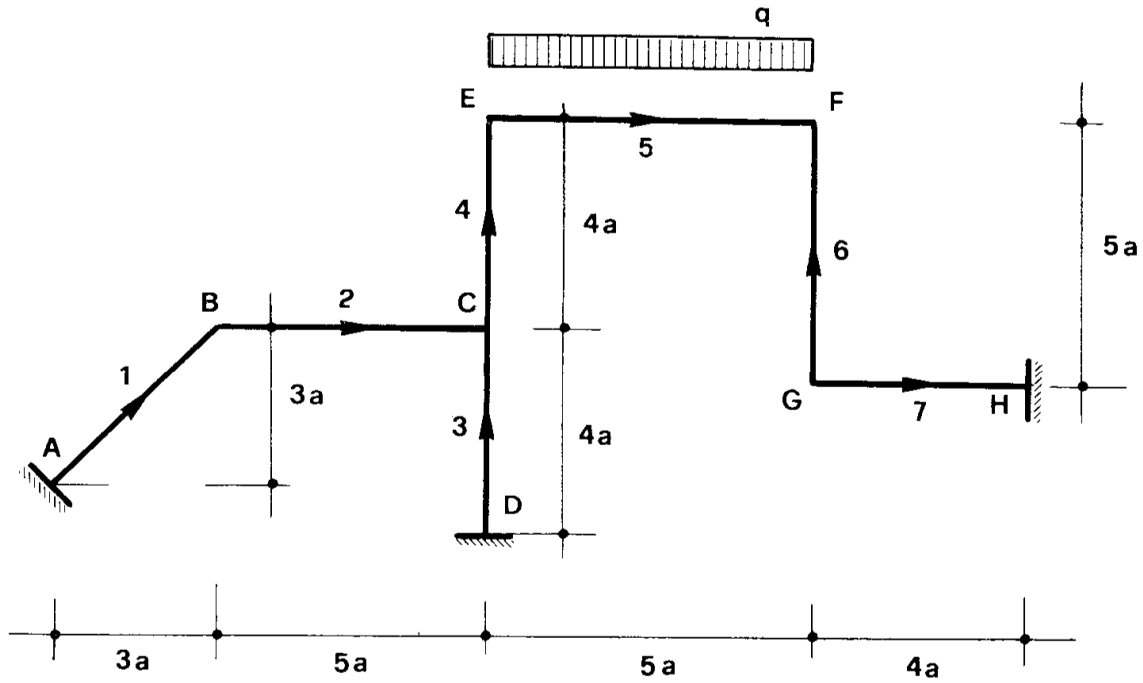


Figura 49.1.

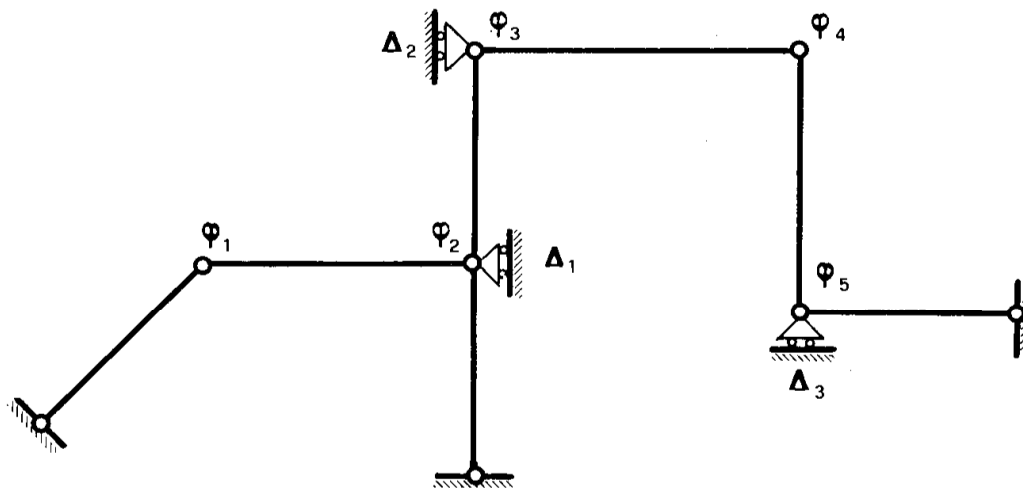


Figura 49.2.

Si chiama, come già fatto, con  $\rho$  il rapporto  $\frac{4EI}{l}$  relativo a ciascuna trave.

Attraverso la (203) si scrivono i contributi ad  $E_t$  di ciascuna trave: a ciò fare si sono disegnati in fig. 49 (3, 4, 5) i termini  $v_A$  e  $v_B$  provocati in ogni trave da  $\Delta_1$ ,  $\Delta_2$  e  $\Delta_3$ . Per la scrittura della (203) l'asse  $z$  della

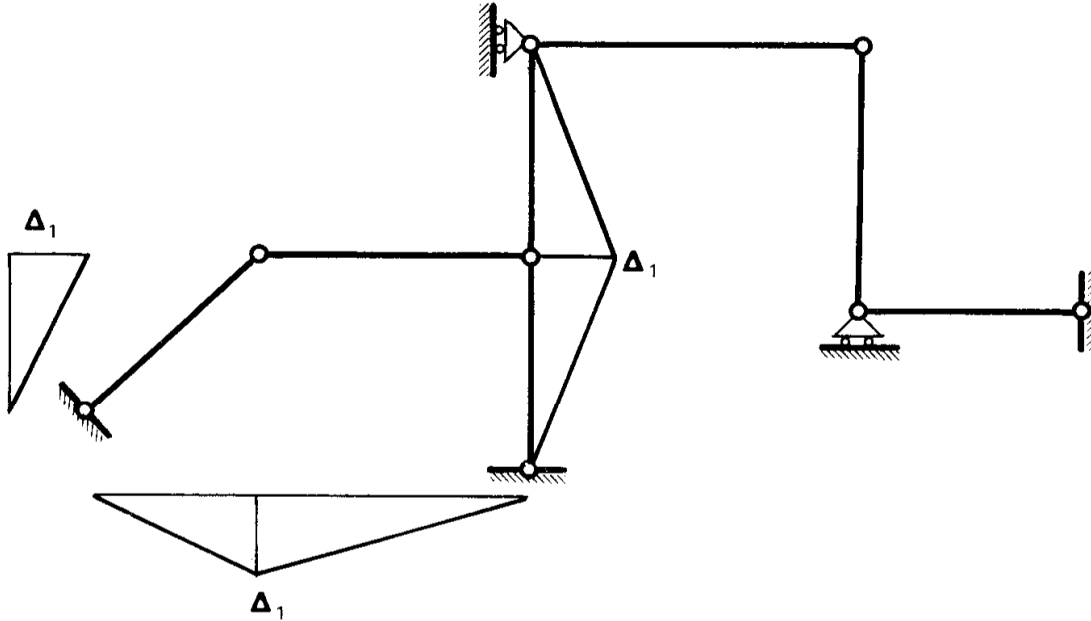


Figura 49.3

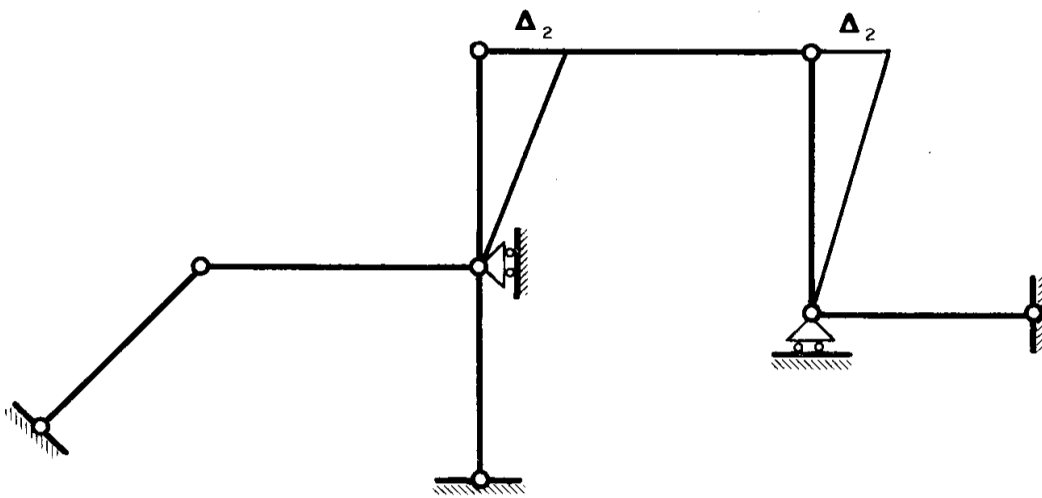


Figura 49.4.

fig. 44 è riportato sulla struttura in esame così come è consegnato nella fig. 49.1. Si ha quindi

$$E_{t1} = \frac{\rho_1}{2} \varphi_1^2 + \frac{3}{2} \frac{\rho_1}{(3a\sqrt{2})^2} (\Delta_1 \sqrt{2})^2 + \frac{3}{2} \frac{\rho_1}{3a\sqrt{2}} \varphi_1 \Delta_1 \sqrt{2} .$$



$$E_{t2} = \frac{\rho_2}{2} (\varphi_1^2 + \varphi_2^2) + \frac{3}{2} \frac{\rho_2}{(5a)^2} \Delta_1^2 + \frac{\rho_2}{2} \varphi_1 \varphi_2 -$$

$$- \frac{3}{2} \frac{\rho_2}{5a} \Delta_1 (\varphi_1 + \varphi_2);$$

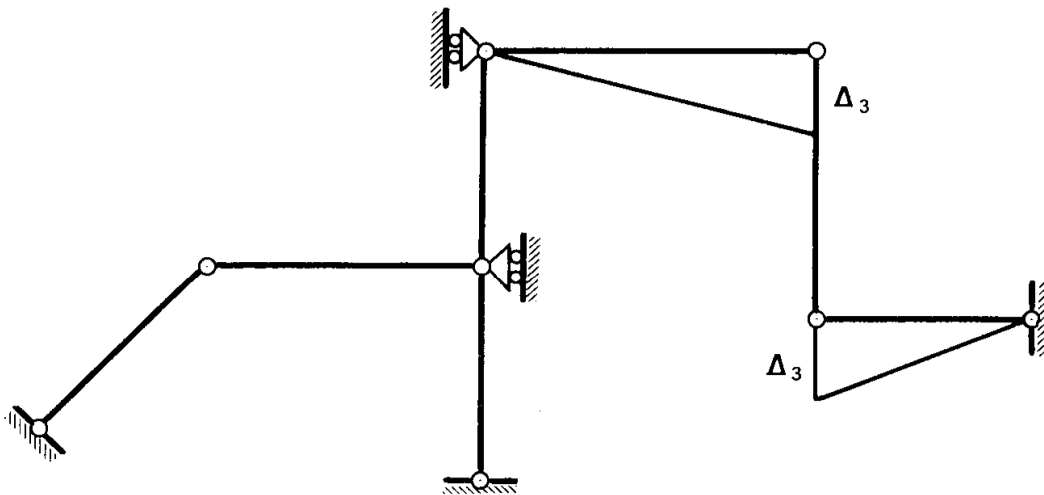


Figura 49.5.

$$E_{t3} = \frac{\rho_3}{2} \varphi_2^2 + \frac{3}{2} \frac{\rho_3}{(4a)^2} \Delta_1^2 + \frac{3}{2} \frac{\rho_3}{4a} \varphi_2 \Delta_1 ;$$

$$E_{t4} = \frac{\rho_4}{2} (\varphi_2^2 + \varphi_3^2) + \frac{3}{2} \frac{\rho_4}{(4a)^2} (\Delta_1^2 + \Delta_2^2) +$$

$$+ \frac{\rho_4}{2} \varphi_2 \varphi_3 + \frac{3}{2} \frac{\rho_4}{4a} (-\varphi_2 \Delta_1 + \varphi_2 \Delta_2 - \varphi_3 \Delta_1 + \varphi_3 \Delta_2) -$$

$$- 3 \frac{\rho_4}{(4a)^2} \Delta_1 \Delta_2 ;$$

$$E_{t5} = \frac{\rho_5}{2} (\varphi_3^2 + \varphi_4^2) + \frac{3}{2} \frac{\rho_5}{(6a)^2} \Delta_3^2 + \frac{\rho_5}{2} \varphi_3 \varphi_4 +$$

$$+ \frac{3}{2} \frac{\rho_5}{6a} \Delta_3 (\varphi_3 + \varphi_4) - \frac{1}{2} \int_3^4 q \bar{v} dz + \frac{q (6a)^2}{12} \varphi_3 -$$

$$- \frac{q (6a)^2}{12} \varphi_4 - 3qa \Delta_3 ;$$

$$E_{t6} = \frac{\rho_6}{2} (\varphi_5^2 + \varphi_4^2) + \frac{3}{2} \frac{\rho_6}{(5a)^2} \Delta_2^2 + \frac{\rho_6}{2} \varphi_5 \varphi_4 +$$

$$+ \frac{3}{2} \frac{\rho_6}{5a} \Delta_2 (\varphi_5 + \varphi_4) ;$$

$$E_{t7} = \frac{\rho_7}{2} \varphi_5^2 + \frac{3}{2} \frac{\rho_7}{(4a)^2} \Delta_3^2 - \frac{3}{2} \frac{\rho_7}{4a} \varphi_3 \Delta_3$$

Le otto condizioni di stazionarietà

$$\frac{\partial E_t}{\partial \varphi_i} = 0 \quad \frac{\partial E_t}{\partial \Delta_k} = 0$$

conducono al sistema lineare non omogeneo di otto equazioni in otto incognite che di seguito si scrive:

$$\varphi_1 (\rho_1 + \rho_2) + \varphi_2 \frac{\rho_2}{2} + \frac{\Delta_1}{a} \left( \frac{\rho_1}{2} - \frac{3\rho_2}{10} \right) = 0 ;$$

$$\varphi_2 (\rho_2 + \rho_3 + \rho_4) + \varphi_1 \frac{\rho_2}{2} + \varphi_3 \frac{\rho_4}{2} + \frac{\Delta_1}{a} \left( -\frac{3\rho_2}{10} + \frac{3\rho_3}{8} - \frac{3\rho_4}{8} \right) +$$

$$+ \frac{\Delta_2}{a} \frac{3\rho_4}{8} = 0 ;$$

$$\varphi_3 (\rho_4 + \rho_5) + \varphi_2 \frac{\rho_4}{2} + \varphi_4 \frac{\rho_5}{2} - \frac{\Delta_1}{a} \frac{3\rho_4}{8} + \frac{\Delta_2}{a} \frac{3\rho_4}{8} +$$

$$+ \frac{\Delta_3}{a} \frac{\rho_5}{4} = -3qa^2 ;$$

$$\varphi_4 (\rho_5 + \rho_6) + \varphi_3 \frac{\rho_5}{2} + \varphi_5 \frac{\rho_6}{2} + \frac{\Delta_2}{a} \frac{3\rho_6}{10} + \frac{\Delta_3}{a} \frac{\rho_5}{4} = 3qa^2 ;$$

$$\varphi_5 (\rho_6 + \rho_7) + \varphi_4 \frac{\rho_6}{2} + \frac{\Delta_2}{a} \frac{3\rho_6}{10} - \frac{\Delta_3}{a} \frac{3\rho_7}{8} = 0 ;$$

$$\varphi_1 \left( \frac{\rho_1}{2} - \frac{3\rho_2}{10} \right) + \varphi_2 \left( -\frac{3\rho_2}{10} + \frac{3\rho_3}{8} - \frac{3\rho_4}{8} \right) -$$

$$- \varphi_3 \frac{3\rho_4}{8} + \frac{\Delta_1}{a} \left( \frac{\rho_1}{3} + \frac{3\rho_2}{25} + \frac{3\rho_3}{16} + \frac{3\rho_4}{16} \right) - \frac{\Delta_2}{a} \frac{3\rho_4}{16} = 0 ;$$

$$\varphi_2 \frac{3\rho_4}{8} + \varphi_3 \frac{3\rho_4}{8} + \varphi_4 \frac{3\rho_6}{10} + \varphi_5 \frac{3\rho_6}{10} -$$

$$- \frac{\Delta_1}{a} \frac{3\rho_4}{16} + \frac{\Delta_2}{a} \left( \frac{3\rho_4}{16} + \frac{3\rho_6}{25} \right) = 0 ;$$

$$\varphi_3 \frac{\rho_5}{4} + \varphi_4 \frac{\rho_5}{4} - \varphi_5 \frac{3\rho_7}{8} + \frac{\Delta_3}{a} \left( \frac{\rho_5}{12} + \frac{3\rho_7}{16} \right) = 3qa^2.$$

Per

$$\rho_5 = \rho$$

$$\rho_1 = \rho_2 = \rho_7 = 0,5\rho$$

$$\rho_3 = \rho_4 = \rho_6 = 0,2\rho$$

i coefficienti ed i termini noti del sistema sono riportati nella tabella 49.1; nell'ultima riga della stessa tabella appaiono i termini della soluzione a meno di  $\frac{qa^2}{\rho}$ .

Nella fig. 49.6 sono riportati i momenti flettenti; per il loro calcolo si è proceduto come segue

$$\begin{aligned} m_A &= \frac{2EI}{l} \varphi_B + \frac{6EI}{l^2} \eta_B = \\ &= \frac{\rho_1}{2} \varphi_1 + \frac{3}{2} \frac{\rho_1}{3a \sqrt{2}} \Delta_1 \sqrt{2} = -0,6402 qa^2 \end{aligned}$$

$$m_{BA} = \rho_1 \varphi_1 + \frac{3}{2} \frac{\rho_1}{3a \sqrt{2}} \Delta_1 \sqrt{2} = -0,6245 qa^2$$

$$m_{BC} = \rho_2 \varphi_1 + \frac{\rho_2}{2} \varphi_2 - \frac{3}{2} \frac{\rho_2}{5a} \Delta_1 = 0,8084 qa^2$$

$$m_{CB} = \frac{\rho_2}{2} \varphi_1 + \rho_2 \varphi_2 - \frac{3}{2} \frac{\rho_2}{5a} \Delta_1 = 0,8084 qa^2$$

$$m_B = \frac{\rho_3}{2} \varphi_2 + \frac{3}{2} \frac{\rho_3}{4a} \Delta_1 = -0,1169 qa^2$$

$$m_{CD} = \rho_3 \varphi_2 + \frac{3}{2} \frac{\rho_3}{4a} \Delta_1 = -0,0371 qa^2$$

$$m_{CE} = \rho_4 \varphi_2 + \frac{\rho_4}{2} \varphi_3 + \frac{3}{2} \frac{\rho_4}{4a} (\Delta_2 - \Delta_1) = -0,7712 qa^2$$

$$m_{EC} = \frac{\rho_4}{2} \varphi_2 + \rho_4 \varphi_3 + \frac{3}{2} \frac{\rho_4}{4a} (\Delta_2 - \Delta_1) = -2,2158 qa^2$$

$$m_{EF} = \rho_5 \varphi_3 + \frac{\rho_5}{2} \varphi_4 + \frac{3}{2} \frac{\rho_5}{6a} \Delta_3 + \frac{q (6a)^2}{12} = 2,2158 qa^2$$

$$m_{FE} = \frac{\rho_5}{2} \varphi_3 + \rho_5 \varphi_4 + \frac{3}{2} \frac{\rho_5}{6a} \Delta_3 - \frac{q (6a)^2}{12} = -0,5833 qa^2$$

$$m_{FG} = \frac{\rho_6}{2} \varphi_5 + \rho_6 \varphi_4 + \frac{3}{2} \frac{\rho_6}{5a} \Delta_2 = 0,5833 qa^2$$

$$m_{GF} = \rho_6 \varphi_5 + \frac{\rho_6}{2} \varphi_4 + \frac{3}{2} \frac{\rho_6}{5a} \Delta_2 = 3,1504 qa^2$$

$$m_{GH} = \rho_7 \varphi_5 - \frac{3}{2} \frac{\rho_7}{4a} \Delta_3 = -3,1504 qa^2$$

$$m_H = \frac{\rho_7}{2} \varphi_5 - \frac{3}{2} \frac{\rho_7}{4a} \Delta_3 = -7,7569 qa^2$$

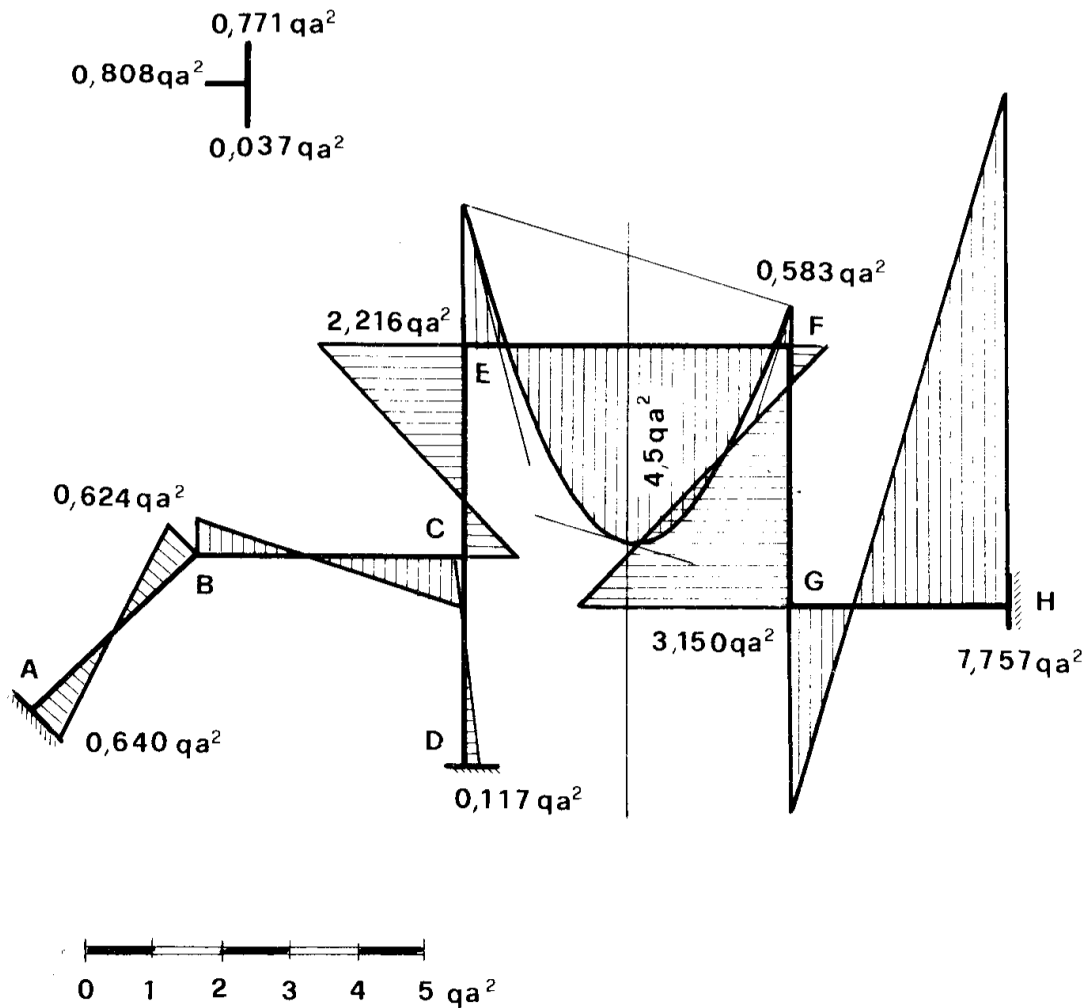


Figura 49.6.

Il lettore potrebbe agevolmente verificare che le equazioni di cui alla tab. 49.1 sono di equilibrio: le prime cinque rappresentano il nullificarsi della somma delle coppie agenti in ciascuno dei nodi  $BCEFG$ , le altre tre il nullificarsi delle reazioni sviluppate dai tre appoggi posti ciascuno ad impedire  $\Delta_1$ ,  $\Delta_2$  e  $\Delta_3$ . Ciò corrisponde infatti a vincolare la struttura in

$\varphi_1$	$\varphi_2$	$\varphi_3$	$\varphi_4$	$\varphi_5$	$\frac{\Delta_1}{a}$	$\frac{\Delta_2}{a}$	$\frac{\Delta_3}{a}$	
1,0000	0,2500	0	0	0	0,1000	0	0	0
0,2500	0,9000	0,1000	0	0	- 0,1500	0,0750	0	0
0	0,1000	1,2000	0,5000	0	- 0,0750	0,0750	0,2500	$-\frac{3qa^2}{\rho}$
0	0	0,5000	1,2000	0,1000	0	0,0600	0,2500	$\frac{3qa^2}{\rho}$
0	0	0	0,1000	0,7000	0	0,0600	- 0,1875	0
0,1000	- 0,1500	- 0,0750	0	0	0,3017	- 0,0375	0	0
0	0,0750	0,0750	0,0600	0,0600	- 0,0375	0,0615	0	0
0	0	0,2500	0,2500	- 0,1875	0	0	0,1771	$\frac{3qa^2}{\rho}$
0,0628	0,7982	- 13,6466	- 7,2446	18,4262	- 2,6236	3,1602	65,9386	$\frac{qa^2}{\rho}$

Tabella 49.1.

modo da impedire le cinque  $\varphi$  ed i tre  $\Delta_k$ , poi assoggettarla alle forze applicate, ed infine imprimere cinque rotazioni  $\varphi_i$  e tre cedimenti  $\Delta_k$ ; la soluzione, per un qualsiasi insieme di valori delle  $\varphi_i$  e dei  $\Delta_k$ , è congruente ma non equilibrata, poichè i vincoli aggiunti sono fittizi; l'unica che è assieme congruente ed equilibrata è quella che annulla le reazioni sviluppate dai vincoli fittizi.

### Problema n. 50.

Si vuole studiare il telaio della fig. 50.1 soggetto a carichi verticali distribuiti sui traversi, ed a forze orizzontali in corrispondenza dei traversi stessi. Le coordinate lagrangiane sono le rotazioni dei 35 nodi, gli spostamenti orizzontali dei 10 traversi, nonchè gli spostamenti verticali dei punti *ABC*.

Nella fig. 50.2 sono numerate le travi (in cerchietto), i nodi, ed i vincoli fittizi che contrastano gli spostamenti (in rettangolino).

Nella tabella 50.1 sono riportati, per ciascuna delle 57 travi, i contributi ad  $E_t$  (con esclusione dei termini noti, che non giocano nelle derivate). Nella tabella 50.2 sono riportati i coefficienti ed i termini noti delle 48 equazioni del tipo

$$\frac{\partial E_t}{\partial \varphi_i} = 0$$

$$\frac{\partial E_t}{\partial \Delta_k} = 0 ;$$

nell'ultima colonna sono riportati i termini noti, nell'ultima riga i risultati, a meno di  $\frac{qa^2}{\rho}$ .

Nella fig. 50.3 sono disegnati i momenti flettenti nei traversi; nella fig. 50.4 i momenti flettenti nei ritti; nella fig. 50.5 i valori delle coppie reattive d'incastro (agenti dal nodo sulle travi).



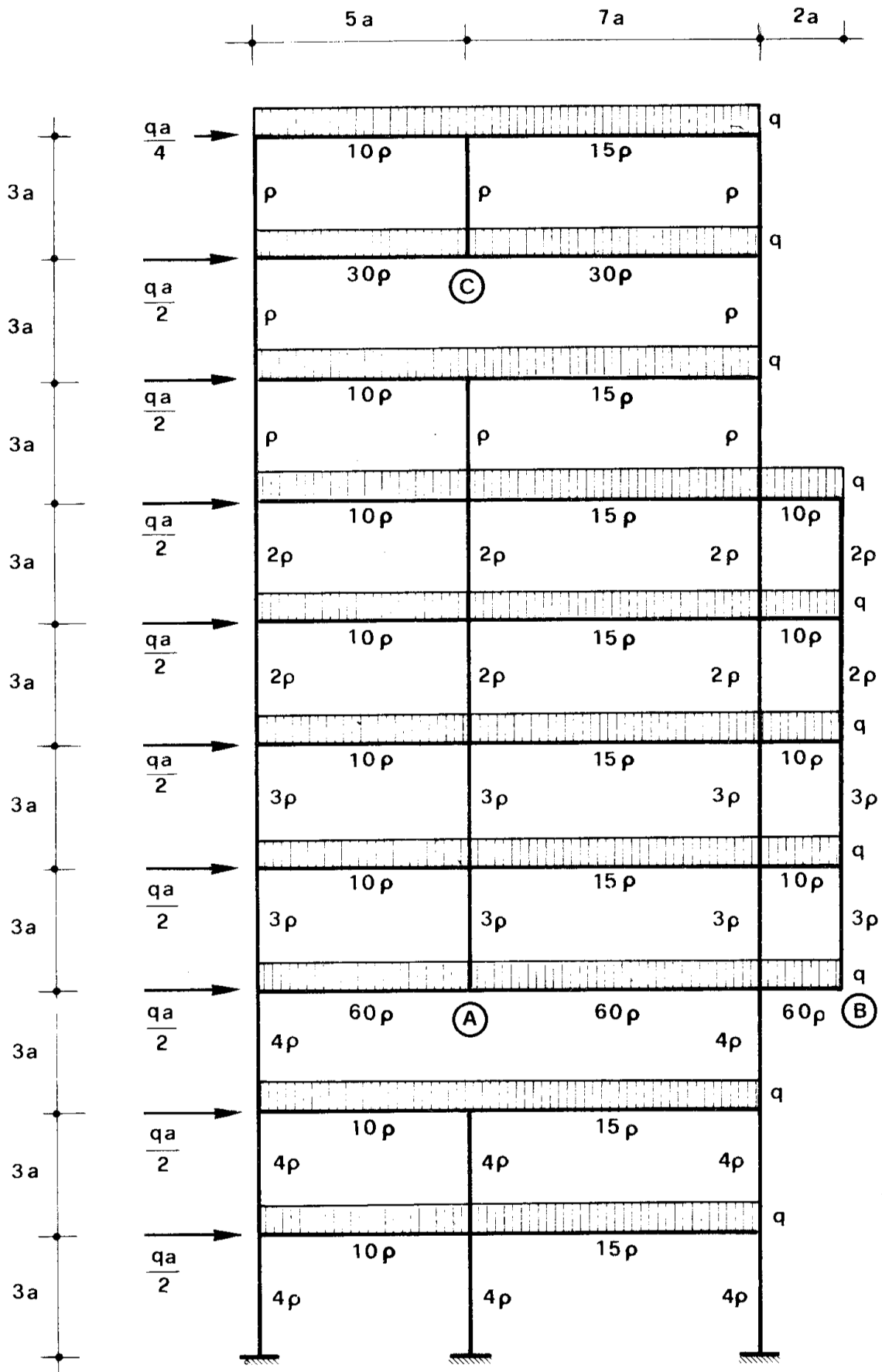


Figura 50.1

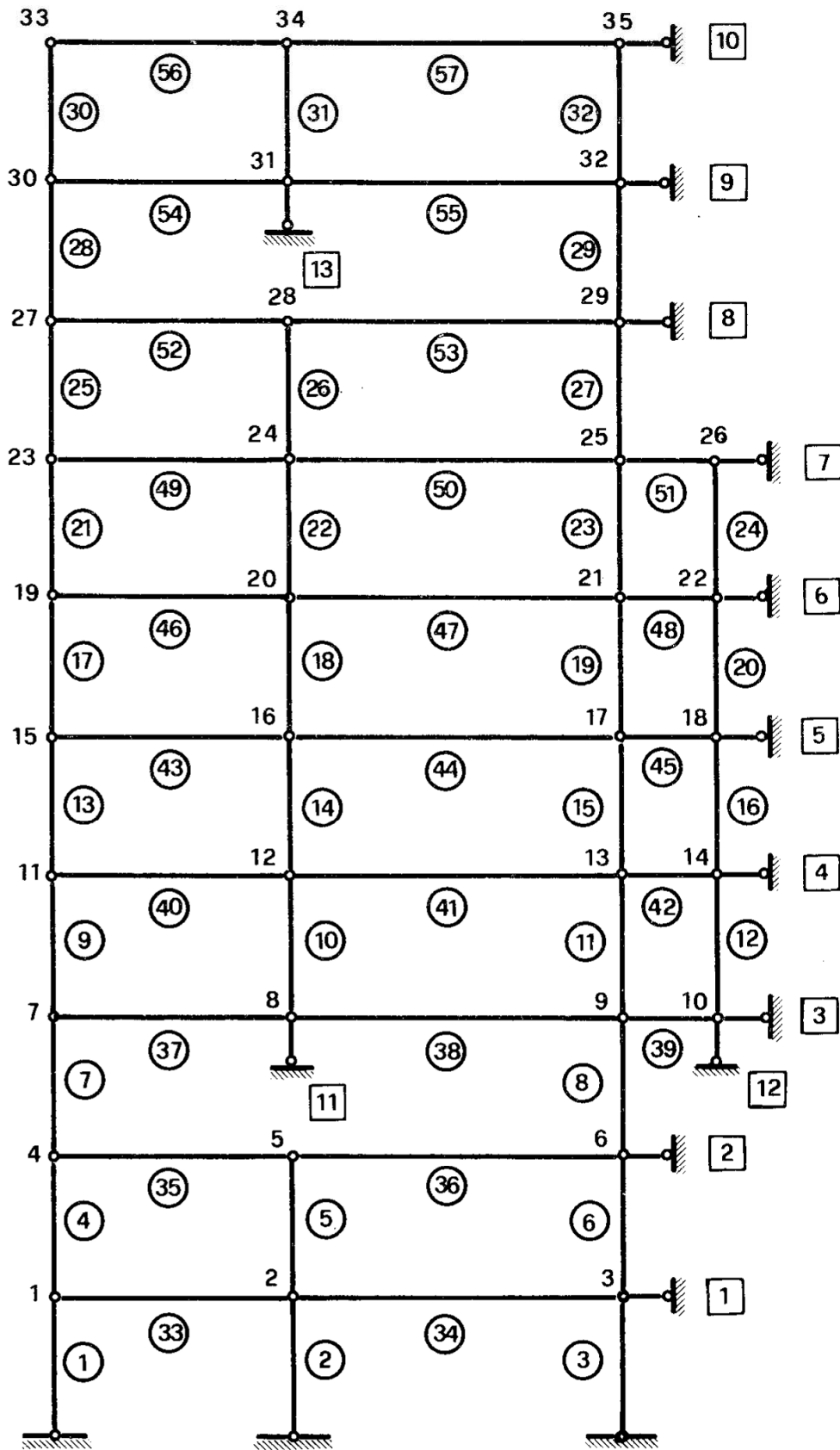
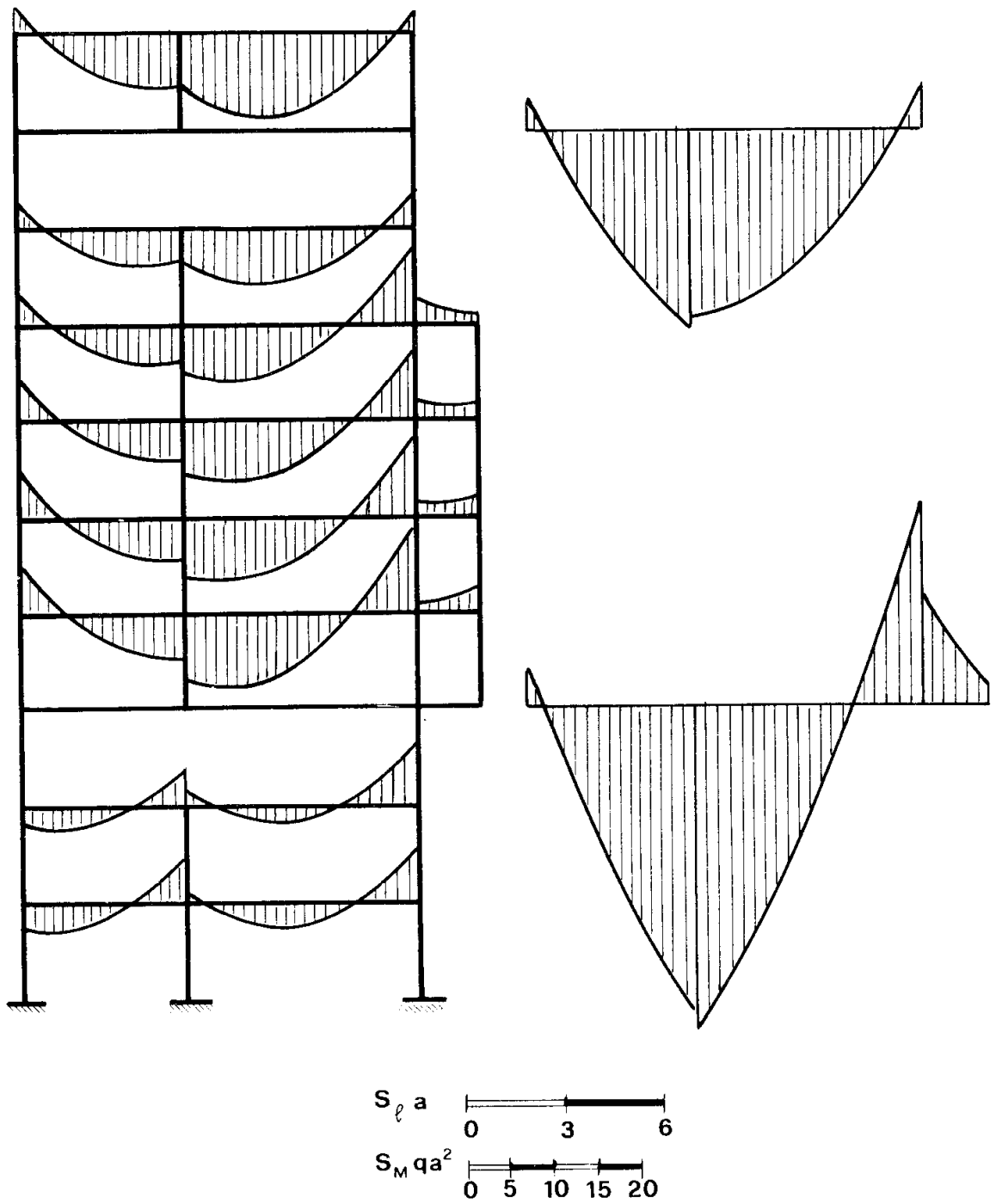


Figura 50.2



*Figura 50.3*

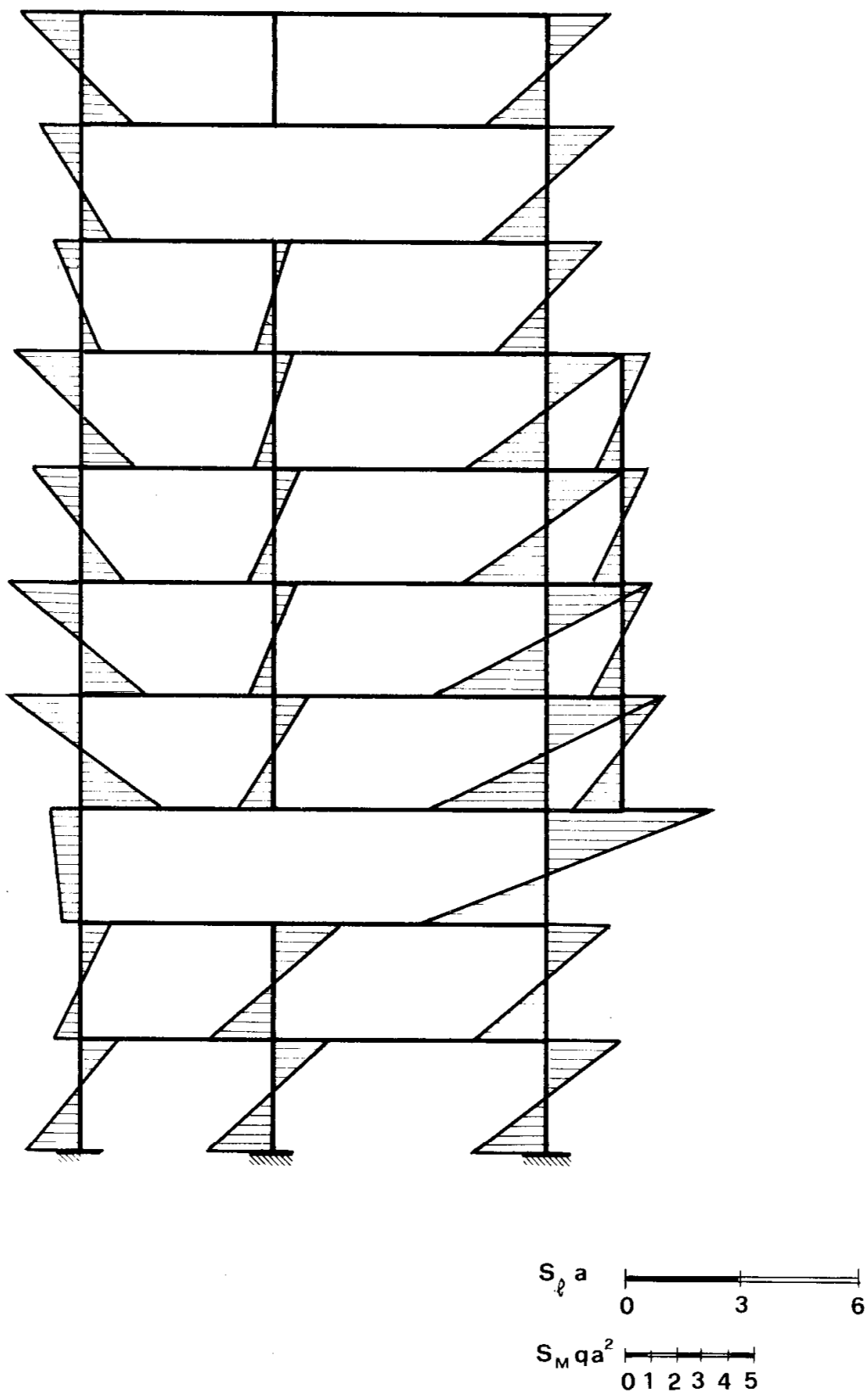
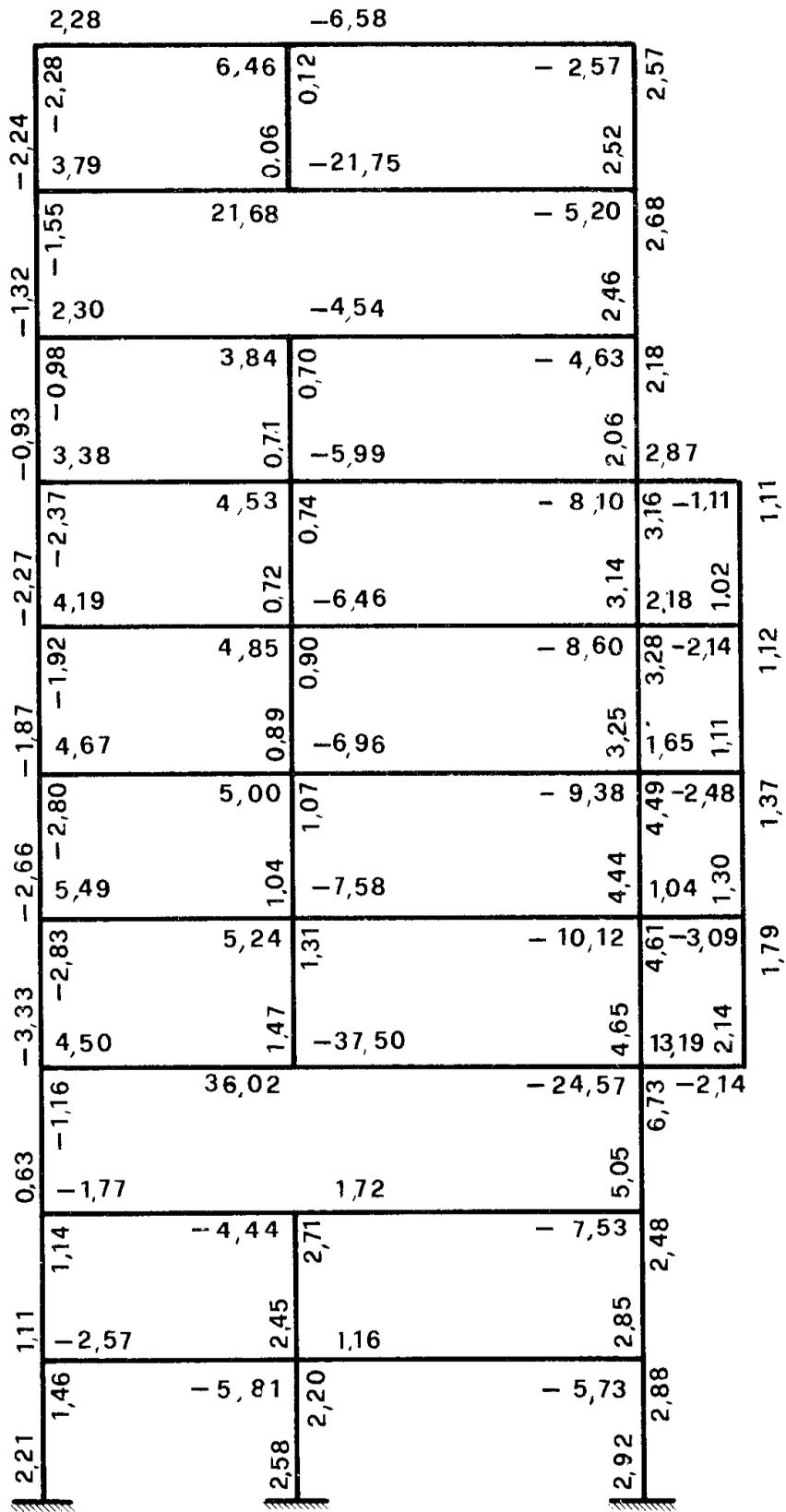


Figura 50.4



$m_l = mqa^2$

Figura 50.5

Tabella 50.1a

$n$	$\frac{\rho_n}{\rho}$	$\frac{l_n}{l}$	$\frac{\rho_n}{2\rho} \varphi_A^2$	$\frac{\rho_n}{2\rho} \varphi_B^2$	$\frac{v_A^2 a^2}{2 \rho_n l_n^2 \rho}$	$\frac{v_B^2 a^2}{2 \rho_n l_n^2 \rho}$	$\bar{m}_A \varphi_A$	$\bar{m}_B \varphi_B$	$R_A v_A$	$R_B v_B$	$\frac{\rho_n}{2\rho} \varphi_A \varphi_B$	$\frac{3}{2} \frac{\varphi_A v_A^2}{\rho_n l_n \rho}$	$\frac{3}{2} \frac{\varphi_B v_B^2}{\rho_n l_n \rho}$	$\frac{\varphi_A v_B^2}{2 \rho_n l_n \rho}$	$\frac{\varphi_B v_A^2}{2 \rho_n l_n \rho}$	$\frac{\varphi_A v_A^2}{2 \rho_n l_n \rho}$	$\frac{\varphi_B v_B^2}{2 \rho_n l_n \rho}$	$\frac{v_A v_B a}{-3 \rho_n l_n \rho}$		
1	4	3		$2 \varphi_1^2$		$\frac{2}{3} \Delta_1^2$				$-\frac{g^a}{2} \Delta_1$								$2 \varphi_1 \Delta_1$		
2	4	3		$2 \varphi_2^2$		$\frac{2}{3} \Delta_1^2$													$2 \varphi_2 \Delta_1$	
3	4	3		$2 \varphi_3^2$		$\frac{2}{3} \Delta_1^2$													$2 \varphi_3 \Delta_1$	
4	4	3	$2 \varphi_1^2$	$2 \varphi_4^2$	$\frac{2}{3} \Delta_1^2$	$\frac{2}{3} \Delta_2^2$			$-\frac{g^a}{2} \Delta_1$	$-\frac{g^a}{2} \Delta_2$	$2 \varphi_1 \varphi_4$	$-2 \varphi_1 \Delta_1$	$2 \varphi_4 \Delta_2$	$-2 \varphi_4 \Delta_1$	$-2 \varphi_4 \Delta_2$	$-2 \varphi_4 \Delta_1$	$-2 \varphi_4 \Delta_2$	$-\frac{4}{3} \Delta_1 \Delta_2$	$2 \varphi_4 \Delta_2$	$-\frac{4}{3} \Delta_1 \Delta_2$
5	4	3	$2 \varphi_1^2$	$2 \varphi_5^2$	$\frac{2}{3} \Delta_1^2$	$\frac{2}{3} \Delta_2^2$					$2 \varphi_2 \varphi_5$	$-2 \varphi_2 \Delta_1$	$2 \varphi_5 \Delta_2$	$-2 \varphi_5 \Delta_1$	$-2 \varphi_5 \Delta_2$	$-2 \varphi_5 \Delta_1$	$-2 \varphi_5 \Delta_2$	$-\frac{4}{3} \Delta_1 \Delta_2$	$2 \varphi_5 \Delta_2$	$-\frac{4}{3} \Delta_1 \Delta_2$
6	4	3	$2 \varphi_1^2$	$2 \varphi_6^2$	$\frac{2}{3} \Delta_1^2$	$\frac{2}{3} \Delta_2^2$					$2 \varphi_3 \varphi_6$	$-2 \varphi_3 \Delta_1$	$2 \varphi_6 \Delta_2$	$-2 \varphi_6 \Delta_1$	$-2 \varphi_6 \Delta_2$	$-2 \varphi_6 \Delta_1$	$-2 \varphi_6 \Delta_2$	$-\frac{4}{3} \Delta_1 \Delta_2$	$2 \varphi_6 \Delta_2$	$-\frac{4}{3} \Delta_1 \Delta_2$
7	4	3	$2 \varphi_1^2$	$2 \varphi_7^2$	$\frac{2}{3} \Delta_1^2$	$\frac{2}{3} \Delta_3^2$			$-\frac{g^a}{2} \Delta_2$	$-\frac{g^a}{2} \Delta_3$	$2 \varphi_4 \varphi_7$	$-2 \varphi_4 \Delta_2$	$2 \varphi_7 \Delta_3$	$-2 \varphi_7 \Delta_2$	$-2 \varphi_7 \Delta_3$	$-2 \varphi_7 \Delta_2$	$-2 \varphi_7 \Delta_3$	$-\frac{4}{3} \Delta_2 \Delta_3$	$2 \varphi_7 \Delta_3$	$-\frac{4}{3} \Delta_2 \Delta_3$
8	4	3	$2 \varphi_1^2$	$2 \varphi_8^2$	$\frac{2}{3} \Delta_1^2$	$\frac{2}{3} \Delta_3^2$					$2 \varphi_6 \varphi_8$	$-2 \varphi_6 \Delta_2$	$2 \varphi_8 \Delta_3$	$-2 \varphi_8 \Delta_2$	$-2 \varphi_8 \Delta_3$	$-2 \varphi_8 \Delta_2$	$-2 \varphi_8 \Delta_3$	$-\frac{4}{3} \Delta_2 \Delta_3$	$2 \varphi_8 \Delta_3$	$-\frac{4}{3} \Delta_2 \Delta_3$
9	3	3	$\frac{3}{2} \varphi_1^2$	$\frac{3}{2} \varphi_9^2$	$\frac{1}{2} \Delta_3^2$	$\frac{1}{2} \Delta_4^2$			$-\frac{g^a}{2} \Delta_3$	$-\frac{g^a}{2} \Delta_4$	$\frac{3}{2} \varphi_7 \varphi_9$	$\frac{3}{2} \varphi_7 \Delta_3$	$\frac{3}{2} \varphi_9 \Delta_4$	$-\frac{3}{2} \varphi_9 \Delta_3$	$-\frac{3}{2} \varphi_9 \Delta_4$	$-\frac{3}{2} \varphi_9 \Delta_3$	$-\frac{3}{2} \varphi_9 \Delta_4$		$\frac{3}{2} \varphi_{11} \Delta_4$	$-\Delta_3 \Delta_4$
10	3	3	$\frac{3}{2} \varphi_1^2$	$\frac{3}{2} \varphi_{10}^2$	$\frac{1}{2} \Delta_3^2$	$\frac{1}{2} \Delta_4^2$					$\frac{3}{2} \varphi_8 \varphi_{10}$	$\frac{3}{2} \varphi_8 \Delta_3$	$\frac{3}{2} \varphi_{10} \Delta_4$	$-\frac{3}{2} \varphi_{10} \Delta_3$	$-\frac{3}{2} \varphi_{10} \Delta_4$	$-\frac{3}{2} \varphi_{10} \Delta_3$	$-\frac{3}{2} \varphi_{10} \Delta_4$		$\frac{3}{2} \varphi_{12} \Delta_4$	$-\Delta_3 \Delta_4$
11	3	3	$\frac{3}{2} \varphi_1^2$	$\frac{3}{2} \varphi_{11}^2$	$\frac{1}{2} \Delta_3^2$	$\frac{1}{2} \Delta_4^2$					$\frac{3}{2} \varphi_9 \varphi_{11}$	$\frac{3}{2} \varphi_9 \Delta_3$	$\frac{3}{2} \varphi_{11} \Delta_4$	$-\frac{3}{2} \varphi_{11} \Delta_3$	$-\frac{3}{2} \varphi_{11} \Delta_4$	$-\frac{3}{2} \varphi_{11} \Delta_3$	$-\frac{3}{2} \varphi_{11} \Delta_4$		$\frac{3}{2} \varphi_{13} \Delta_4$	$-\Delta_3 \Delta_4$
12	3	3	$\frac{3}{2} \varphi_1^2$	$\frac{3}{2} \varphi_{12}^2$	$\frac{1}{2} \Delta_3^2$	$\frac{1}{2} \Delta_4^2$					$\frac{3}{2} \varphi_{10} \varphi_{12}$	$\frac{3}{2} \varphi_{10} \Delta_3$	$\frac{3}{2} \varphi_{12} \Delta_4$	$-\frac{3}{2} \varphi_{12} \Delta_3$	$-\frac{3}{2} \varphi_{12} \Delta_4$	$-\frac{3}{2} \varphi_{12} \Delta_3$	$-\frac{3}{2} \varphi_{12} \Delta_4$		$\frac{3}{2} \varphi_{14} \Delta_4$	$-\Delta_3 \Delta_4$
13	3	3	$\frac{3}{2} \varphi_1^2$	$\frac{3}{2} \varphi_{13}^2$	$\frac{1}{2} \Delta_3^2$	$\frac{1}{2} \Delta_5^2$			$-\frac{g^a}{2} \Delta_4$	$-\frac{g^a}{2} \Delta_5$	$\frac{3}{2} \varphi_{11} \varphi_{13}$	$\frac{3}{2} \varphi_{11} \Delta_4$	$\frac{3}{2} \varphi_{13} \Delta_5$	$-\frac{3}{2} \varphi_{13} \Delta_4$	$-\frac{3}{2} \varphi_{13} \Delta_5$	$-\frac{3}{2} \varphi_{13} \Delta_4$	$-\frac{3}{2} \varphi_{13} \Delta_5$		$\frac{3}{2} \varphi_{15} \Delta_5$	$-\Delta_4 \Delta_5$
14	3	3	$\frac{3}{2} \varphi_1^2$	$\frac{3}{2} \varphi_{14}^2$	$\frac{1}{2} \Delta_3^2$	$\frac{1}{2} \Delta_5^2$					$\frac{3}{2} \varphi_{12} \varphi_{14}$	$\frac{3}{2} \varphi_{12} \Delta_4$	$\frac{3}{2} \varphi_{14} \Delta_5$	$-\frac{3}{2} \varphi_{14} \Delta_4$	$-\frac{3}{2} \varphi_{14} \Delta_5$	$-\frac{3}{2} \varphi_{14} \Delta_4$	$-\frac{3}{2} \varphi_{14} \Delta_5$		$\frac{3}{2} \varphi_{16} \Delta_5$	$-\Delta_4 \Delta_5$
15	3	3	$\frac{3}{2} \varphi_1^2$	$\frac{3}{2} \varphi_{15}^2$	$\frac{1}{2} \Delta_3^2$	$\frac{1}{2} \Delta_5^2$					$\frac{3}{2} \varphi_{13} \varphi_{15}$	$\frac{3}{2} \varphi_{13} \Delta_4$	$\frac{3}{2} \varphi_{15} \Delta_5$	$-\frac{3}{2} \varphi_{15} \Delta_4$	$-\frac{3}{2} \varphi_{15} \Delta_5$	$-\frac{3}{2} \varphi_{15} \Delta_4$	$-\frac{3}{2} \varphi_{15} \Delta_5$		$\frac{3}{2} \varphi_{17} \Delta_5$	$-\Delta_4 \Delta_5$
16	3	3	$\frac{3}{2} \varphi_1^2$	$\frac{3}{2} \varphi_{16}^2$	$\frac{1}{2} \Delta_3^2$	$\frac{1}{2} \Delta_5^2$					$\frac{3}{2} \varphi_{14} \varphi_{16}$	$\frac{3}{2} \varphi_{14} \Delta_4$	$\frac{3}{2} \varphi_{16} \Delta_5$	$-\frac{3}{2} \varphi_{16} \Delta_4$	$-\frac{3}{2} \varphi_{16} \Delta_5$	$-\frac{3}{2} \varphi_{16} \Delta_4$	$-\frac{3}{2} \varphi_{16} \Delta_5$		$\frac{3}{2} \varphi_{18} \Delta_5$	$-\Delta_4 \Delta_5$
17	2	3	$\varphi_{15}^2$	$\varphi_{17}^2$	$\frac{1}{3} \Delta_5^2$	$\frac{1}{3} \Delta_6^2$			$-\frac{g^a}{2} \Delta_5$	$-\frac{g^a}{2} \Delta_6$	$\varphi_{15} \varphi_{17}$	$-\varphi_{15} \Delta_5$	$-\varphi_{17} \Delta_6$	$-\varphi_{17} \Delta_5$	$-\varphi_{17} \Delta_6$	$-\varphi_{17} \Delta_5$	$-\varphi_{17} \Delta_6$		$\varphi_{19} \Delta_6$	$\frac{2}{3} \Delta_5 \Delta_6$
18	2	3	$\varphi_{16}^2$	$\varphi_{20}^2$	$\frac{1}{3} \Delta_5^2$	$\frac{1}{3} \Delta_6^2$					$\varphi_{16} \varphi_{20}$	$-\varphi_{16} \Delta_5$	$-\varphi_{20} \Delta_6$	$-\varphi_{20} \Delta_5$	$-\varphi_{20} \Delta_6$	$-\varphi_{20} \Delta_5$	$-\varphi_{20} \Delta_6$		$\varphi_{21} \Delta_6$	$-\frac{2}{3} \Delta_5 \Delta_6$
19	2	3	$\varphi_{17}^2$	$\varphi_{21}^2$	$\frac{1}{3} \Delta_5^2$	$\frac{1}{3} \Delta_6^2$					$\varphi_{17} \varphi_{21}$	$-\varphi_{17} \Delta_5$	$-\varphi_{21} \Delta_6$	$-\varphi_{21} \Delta_5$	$-\varphi_{21} \Delta_6$	$-\varphi_{21} \Delta_5$	$-\varphi_{21} \Delta_6$		$\varphi_{22} \Delta_6$	$-\frac{2}{3} \Delta_5 \Delta_6$
20	2	3	$\varphi_{18}^2$	$\varphi_{22}^2$	$\frac{1}{3} \Delta_5^2$	$\frac{1}{3} \Delta_6^2$					$\varphi_{18} \varphi_{22}$	$-\varphi_{18} \Delta_5$	$-\varphi_{22} \Delta_6$	$-\varphi_{22} \Delta_5$	$-\varphi_{22} \Delta_6$	$-\varphi_{22} \Delta_5$	$-\varphi_{22} \Delta_6$		$\varphi_{23} \Delta_6$	$-\frac{2}{3} \Delta_5 \Delta_6$

Tabella 50.1b

21	2	3	$\varphi_{19}^2$	$\varphi_{23}^2$	$\frac{1}{3} \Delta_6^2$	$\frac{1}{3} \Delta_7^2$				$-\frac{ga}{2} \Delta_1$	$-\frac{ga}{2} \Delta_2$	$\varphi_{19} \varphi_{23}$	$-\varphi_{19} \Delta_6$	$\varphi_{18} \Delta_7$	$-\varphi_{23} \Delta_1$	$\varphi_{23} \Delta$	$-\frac{2}{3} \Delta_6 \Delta_7$
22	2	3	$\varphi_{20}^2$	$\varphi_{24}^2$	$\frac{1}{3} \Delta_6^2$	$\frac{1}{3} \Delta_7^2$						$\varphi_{20} \varphi_{24}$	$-\varphi_{20} \Delta_6$	$\varphi_{20} \Delta_7$	$-\varphi_{24} \Delta_6$	$\varphi_{24} \Delta$	$-\frac{2}{3} \Delta_6 \Delta_7$
23	2	3	$\varphi_{21}^2$	$\varphi_{25}^2$	$\frac{1}{3} \Delta_6^2$	$\frac{1}{3} \Delta_7^2$						$\varphi_{21} \varphi_{25}$	$-\varphi_{21} \Delta_6$	$\varphi_{21} \Delta_7$	$-\varphi_{25} \Delta_6$	$\varphi_{25} \Delta$	$-\frac{2}{3} \Delta_6 \Delta_7$
24	2	3	$\varphi_{22}^2$	$\varphi_{26}^2$	$\frac{1}{3} \Delta_6^2$	$\frac{1}{3} \Delta_7^2$						$\varphi_{22} \varphi_{26}$	$-\varphi_{22} \Delta_6$	$\varphi_{22} \Delta_7$	$-\varphi_{26} \Delta_6$	$\varphi_{26} \Delta$	$-\frac{2}{3} \Delta_6 \Delta_7$
25	1	3	$\frac{1}{2} \varphi_{23}^2$	$\frac{1}{2} \varphi_{27}^2$	$\frac{1}{6} \Delta_7^2$	$\frac{1}{6} \Delta_8^2$				$-\frac{ga}{2} \Delta_1$	$-\frac{ga}{2} \Delta_8$	$\frac{1}{2} \varphi_{23} \varphi_{27}$	$-\frac{1}{2} \varphi_{23} \Delta_7$	$\frac{1}{2} \varphi_{23} \Delta_8$	$-\frac{1}{2} \varphi_{27} \Delta_7$	$\frac{1}{2} \varphi_{27} \Delta_8$	$-\frac{1}{3} \Delta_7 \Delta_8$
26	1	3	$\frac{1}{2} \varphi_{24}^2$	$\frac{1}{2} \varphi_{28}^2$	$\frac{1}{6} \Delta_7^2$	$\frac{1}{6} \Delta_8^2$						$\frac{1}{2} \varphi_{24} \varphi_{28}$	$-\frac{1}{2} \varphi_{24} \Delta_7$	$\frac{1}{2} \varphi_{24} \Delta_8$	$-\frac{1}{2} \varphi_{28} \Delta_7$	$\frac{1}{2} \varphi_{28} \Delta_8$	$-\frac{1}{3} \Delta_7 \Delta_8$
27	1	3	$\frac{1}{2} \varphi_{25}^2$	$\frac{1}{2} \varphi_{29}^2$	$\frac{1}{6} \Delta_7^2$	$\frac{1}{6} \Delta_8^2$						$\frac{1}{2} \varphi_{25} \varphi_{29}$	$-\frac{1}{2} \varphi_{25} \Delta_7$	$\frac{1}{2} \varphi_{25} \Delta_8$	$-\frac{1}{2} \varphi_{29} \Delta_7$	$\frac{1}{2} \varphi_{29} \Delta_8$	$-\frac{1}{3} \Delta_7 \Delta_8$
28	1	3	$\frac{1}{2} \varphi_{27}^2$	$\frac{1}{2} \varphi_{30}^2$	$\frac{1}{6} \Delta_7^2$	$\frac{1}{6} \Delta_8^2$				$-\frac{ga}{2} \Delta_8$	$-\frac{ga}{2} \Delta_9$	$\frac{1}{2} \varphi_{27} \varphi_{30}$	$-\frac{1}{2} \varphi_{27} \Delta_8$	$\frac{1}{2} \varphi_{27} \Delta_9$	$-\frac{1}{2} \varphi_{30} \Delta_8$	$\frac{1}{2} \varphi_{30} \Delta_9$	$-\frac{1}{3} \Delta_8 \Delta_9$
29	1	3	$\frac{1}{2} \varphi_{28}^2$	$\frac{1}{2} \varphi_{31}^2$	$\frac{1}{6} \Delta_7^2$	$\frac{1}{6} \Delta_8^2$						$\frac{1}{2} \varphi_{28} \varphi_{31}$	$-\frac{1}{2} \varphi_{28} \Delta_7$	$\frac{1}{2} \varphi_{28} \Delta_8$	$-\frac{1}{2} \varphi_{31} \Delta_7$	$\frac{1}{2} \varphi_{31} \Delta_8$	$-\frac{1}{3} \Delta_7 \Delta_8$
30	1	3	$\frac{1}{2} \varphi_{30}^2$	$\frac{1}{2} \varphi_{32}^2$	$\frac{1}{6} \Delta_7^2$	$\frac{1}{6} \Delta_8^2$				$-\frac{ga}{2} \Delta_8$	$-\frac{ga}{4} \Delta_{10}$	$\frac{1}{2} \varphi_{30} \varphi_{32}$	$-\frac{1}{2} \varphi_{30} \Delta_8$	$\frac{1}{2} \varphi_{30} \Delta_{10}$	$-\frac{1}{2} \varphi_{32} \Delta_8$	$\frac{1}{2} \varphi_{32} \Delta_{10}$	$-\frac{1}{3} \Delta_8 \Delta_{10}$
31	1	3	$\frac{1}{2} \varphi_{31}^2$	$\frac{1}{2} \varphi_{33}^2$	$\frac{1}{6} \Delta_7^2$	$\frac{1}{6} \Delta_8^2$						$\frac{1}{2} \varphi_{31} \varphi_{33}$	$-\frac{1}{2} \varphi_{31} \Delta_7$	$\frac{1}{2} \varphi_{31} \Delta_8$	$-\frac{1}{2} \varphi_{33} \Delta_7$	$\frac{1}{2} \varphi_{33} \Delta_8$	$-\frac{1}{3} \Delta_7 \Delta_8$
32	1	3	$\frac{1}{2} \varphi_{32}^2$	$\frac{1}{2} \varphi_{34}^2$	$\frac{1}{6} \Delta_7^2$	$\frac{1}{6} \Delta_8^2$						$\frac{1}{2} \varphi_{32} \varphi_{34}$	$-\frac{1}{2} \varphi_{32} \Delta_7$	$\frac{1}{2} \varphi_{32} \Delta_8$	$-\frac{1}{2} \varphi_{34} \Delta_7$	$\frac{1}{2} \varphi_{34} \Delta_8$	$-\frac{1}{3} \Delta_7 \Delta_8$
33	10	5	$5 \varphi_1^2$	$5 \varphi_2^2$				$\frac{25}{12} ga^2 \varphi_1$	$-\frac{25}{12} ga^2 \varphi_2$			$5 \varphi_1 \varphi_2$					
34	15	7	$\frac{15}{2} \varphi_2^2$	$\frac{15}{2} \varphi_3^2$				$\frac{49}{12} ga^2 \varphi_2$	$-\frac{49}{12} ga^2 \varphi_3$			$\frac{15}{2} \varphi_2 \varphi_3$					
35	10	5	$5 \varphi_4^2$	$5 \varphi_5^2$				$\frac{25}{12} ga^2 \varphi_4$	$-\frac{25}{12} ga^2 \varphi_5$			$5 \varphi_4 \varphi_5$					
36	15	7	$\frac{15}{2} \varphi_6^2$	$\frac{15}{2} \varphi_7^2$				$\frac{49}{12} ga^2 \varphi_6$	$-\frac{49}{12} ga^2 \varphi_7$			$\frac{15}{2} \varphi_6 \varphi_7$					
37	60	5	$30 \varphi_7^2$	$30 \varphi_8^2$	$\frac{18}{5} \Delta_{11}^2$			$\frac{25}{12} ga^2 \varphi_7$	$-\frac{25}{12} ga^2 \varphi_8$		$-\frac{5}{2} ga \Delta_{11}$	$30 \varphi_7 \varphi_8$		$18 \varphi_7 \Delta_{11}$		$18 \varphi_8 \Delta_{11}$	
38	60	7	$30 \varphi_8^2$	$30 \varphi_9^2$				$\frac{49}{12} ga^2 \varphi_8$	$-\frac{49}{12} ga^2 \varphi_9$	$\frac{7}{2} ga \Delta_{11}$	$-\frac{5}{2} ga \Delta_{11}$	$30 \varphi_8 \varphi_9$	$-\frac{90}{7} \varphi_8 \Delta_{11}$		$-\frac{90}{7} \varphi_8 \Delta_{11}$		
39	60	2	$30 \varphi_9^2$	$30 \varphi_{10}^2$	$\frac{45}{2} \Delta_{12}^2$			$\frac{1}{3} ga^2 \varphi_9$	$-\frac{1}{3} ga^2 \varphi_{10}$		$-\frac{5}{2} ga \Delta_{12}$	$30 \varphi_9 \varphi_{10}$		$45 \varphi_9 \Delta_{12}$		$45 \varphi_{10} \Delta_{12}$	
40	10	5	$5 \varphi_{11}^2$	$5 \varphi_{12}^2$	$\frac{3}{5} \Delta_{11}^2$			$\frac{25}{12} ga^2 \varphi_{11}$	$-\frac{25}{12} ga^2 \varphi_{12}$		$-\frac{5}{2} ga \Delta_{11}$	$5 \varphi_{11} \varphi_{12}$		$3 \varphi_{11} \Delta_{11}$		$3 \varphi_{12} \Delta_{11}$	
41	15	7	$\frac{15}{2} \varphi_{12}^2$	$\frac{15}{2} \varphi_{13}^2$	$\frac{45}{98} \Delta_{11}^2$			$\frac{49}{12} ga^2 \varphi_{12}$	$-\frac{49}{12} ga^2 \varphi_{13}$	$\frac{7}{2} ga \Delta_{11}$	$-\frac{7}{2} ga \Delta_{11}$	$\frac{15}{2} \varphi_{12} \varphi_{13}$	$-\frac{45}{14} \varphi_{12} \Delta_{11}$		$-\frac{45}{14} \varphi_{13} \Delta_{11}$		

Tabella 50.1c

42	10	2	$5 \varphi_{13}^2$	$5 \varphi_{14}^2$		$\frac{15}{4} \Delta_{12}^2$	$\frac{1}{3} q a^2 \varphi_{13}$	$\frac{1}{3} q a^2 \varphi_{14}$		$-q a \Delta_{12}$	$5 \varphi_{13} \varphi_{14}$		$\frac{15}{2} \varphi_{13} \Delta_{12}$		
43	10	5	$5 \varphi_{15}^2$	$5 \varphi_{16}^2$		$\frac{3}{5} \Delta_{11}^2$	$\frac{25}{12} q a^2 \varphi_{15}$	$\frac{25}{12} q a^2 \varphi_{16}$		$-\frac{5}{2} q a \Delta_{11}$	$5 \varphi_{15} \varphi_{16}$		$3 \varphi_{15} \Delta_{11}$		
44	15	7	$\frac{15}{2} \varphi_{16}^2$	$\frac{15}{2} \varphi_{17}^2$	$\frac{45}{98} \Delta_{11}^2$	$\frac{49}{12} q a^2 \varphi_{16}$	$\frac{49}{12} q a^2 \varphi_{17}$		$\frac{7}{2} q a \Delta_{11}$		$\frac{15}{2} \varphi_{16} \varphi_{17}$	$-\frac{45}{14} \varphi_{16} \Delta_{11}$			
45	10	2	$5 \varphi_{17}^2$	$5 \varphi_{18}^2$		$\frac{15}{4} \Delta_{12}^2$	$\frac{1}{3} q a^2 \varphi_{17}$	$\frac{1}{3} q a^2 \varphi_{18}$		$-q a \Delta_{12}$	$5 \varphi_{17} \varphi_{18}$		$\frac{15}{2} \varphi_{17} \Delta_{12}$		
46	10	5	$5 \varphi_{19}^2$	$5 \varphi_{20}^2$		$\frac{3}{5} \Delta_{11}^2$	$\frac{25}{12} q a^2 \varphi_{19}$	$\frac{25}{12} q a^2 \varphi_{20}$		$-\frac{5}{2} q a \Delta_{11}$	$5 \varphi_{19} \varphi_{20}$		$3 \varphi_{19} \Delta_{11}$		
47	15	7	$\frac{15}{2} \varphi_{20}^2$	$\frac{15}{2} \varphi_{21}^2$	$\frac{45}{98} \Delta_{11}^2$	$\frac{49}{12} q a^2 \varphi_{20}$	$\frac{49}{12} q a^2 \varphi_{21}$		$\frac{7}{2} q a \Delta_{11}$		$\frac{15}{2} \varphi_{20} \varphi_{21}$	$-\frac{45}{14} \varphi_{20} \Delta_{11}$			
48	10	2	$5 \varphi_{21}^2$	$5 \varphi_{22}^2$		$\frac{15}{4} \Delta_{12}^2$	$\frac{1}{3} q a^2 \varphi_{21}$	$\frac{1}{3} q a^2 \varphi_{22}$		$-q a \Delta_{12}$	$5 \varphi_{21} \varphi_{22}$		$\frac{15}{2} \varphi_{21} \Delta_{12}$		
49	10	5	$5 \varphi_{23}^2$	$5 \varphi_{24}^2$		$\frac{3}{5} \Delta_{11}^2$	$\frac{25}{12} q a^2 \varphi_{23}$	$\frac{25}{12} q a^2 \varphi_{24}$		$-\frac{5}{2} q a \Delta_{11}$	$5 \varphi_{23} \varphi_{24}$		$3 \varphi_{23} \Delta_{11}$		
50	15	7	$\frac{15}{2} \varphi_{24}^2$	$\frac{15}{2} \varphi_{25}^2$	$\frac{45}{98} \Delta_{11}^2$	$\frac{49}{12} q a^2 \varphi_{24}$	$\frac{49}{12} q a^2 \varphi_{25}$		$\frac{7}{2} q a \Delta_{11}$		$\frac{15}{2} \varphi_{24} \varphi_{25}$	$-\frac{45}{14} \varphi_{24} \Delta_{11}$			
51	10	2	$5 \varphi_{25}^2$	$5 \varphi_{26}^2$		$\frac{15}{4} \Delta_{12}^2$	$\frac{1}{3} q a^2 \varphi_{25}$	$\frac{1}{3} q a^2 \varphi_{26}$		$-q a \Delta_{12}$	$5 \varphi_{25} \varphi_{26}$		$\frac{15}{2} \varphi_{25} \Delta_{12}$		
52	10	5	$5 \varphi_{27}^2$	$5 \varphi_{28}^2$		$\frac{3}{5} \Delta_{11}^2$	$\frac{25}{12} q a^2 \varphi_{27}$	$\frac{25}{12} q a^2 \varphi_{28}$		$-\frac{5}{2} q a \Delta_{11}$	$5 \varphi_{27} \varphi_{28}$		$3 \varphi_{27} \Delta_{11}$		
53	15	7	$\frac{15}{2} \varphi_{28}^2$	$\frac{15}{2} \varphi_{29}^2$	$\frac{45}{98} \Delta_{11}^2$	$\frac{49}{12} q a^2 \varphi_{28}$	$\frac{49}{12} q a^2 \varphi_{29}$		$\frac{7}{2} q a \Delta_{11}$		$\frac{15}{2} \varphi_{28} \varphi_{29}$	$-\frac{45}{14} \varphi_{28} \Delta_{11}$			
54	30	5	$15 \varphi_{30}^2$	$15 \varphi_{31}^2$	$\frac{9}{5} \Delta_{13}^2$	$\frac{25}{12} q a^2 \varphi_{30}$	$\frac{25}{12} q a^2 \varphi_{31}$			$-\frac{5}{2} q a \Delta_{13}$	$15 \varphi_{30} \varphi_{31}$		$9 \varphi_{30} \Delta_{13}$		
55	30	7	$15 \varphi_{31}^2$	$15 \varphi_{32}^2$	$\frac{45}{49} \Delta_{13}^2$	$\frac{49}{12} q a^2 \varphi_{31}$	$\frac{49}{12} q a^2 \varphi_{32}$		$-\frac{7}{2} q a \Delta_{13}$		$15 \varphi_{31} \varphi_{32}$	$-\frac{45}{7} \varphi_{31} \Delta_{13}$			
56	10	5	$5 \varphi_{33}^2$	$5 \varphi_{34}^2$		$\frac{3}{5} \Delta_{13}^2$	$\frac{25}{12} q a^2 \varphi_{33}$	$\frac{25}{12} q a^2 \varphi_{34}$		$-\frac{5}{2} q a \Delta_{13}$	$5 \varphi_{33} \varphi_{34}$		$3 \varphi_{33} \Delta_{13}$		
57	15	7	$\frac{15}{2} \varphi_{34}^2$	$\frac{15}{2} \varphi_{35}^2$	$\frac{45}{98} \Delta_{13}^2$	$\frac{49}{12} q a^2 \varphi_{34}$	$\frac{49}{12} q a^2 \varphi_{35}$		$\frac{7}{2} q a \Delta_{13}$		$\frac{15}{2} \varphi_{34} \varphi_{35}$	$-\frac{45}{14} \varphi_{34} \Delta_{13}$			



